

*Universitatea Babes Bolyai, Cluj Napoca*  
*Facultatea de Chimie si Ingineri Chimica*

**Sinteza si caracterizarea nanosistemelor  
multifunctionale cu aur pentru aplicatii in medicina**

**Conducator Stiintific**  
**Prof.Dr Mircea Diudea**

**Doctorand:**  
**Anamaria Ioana Orza**

2011

## Studiu de literatura

Introducere .....	3
Bazele teoretice ale preparării nanomaterialelor.....	7
I.1 Nucleația.....	9
I.1.1 Cinetica nucleației.....	10
I.1.2 Factori care influențează nucleația.....	13
I.2 Echilibru de formare a germinilor, Raza critică.....	17
I.3 Viteza de creștere a germinilor.....	19
I.4 Stabilitatea sistemelor coloidale.....	21
I.4.1 Forțe de adeziune.....	22
I.4.2 Stabilitate electrostatică.....	25
I.4.3 Teoria DLVO.....	27
I.4.4 Influența macromoleculor asupra stabilității.....	29
I.5 Adsorbția.....	30
I.5.1 Capacitatea de adsorbție.....	32
I.5.2 Factori care influențează adsorbția.....	33
II. Sinteza Nanoparticulelor de aur.....	35
Introducere.....	35
II.1 Teoria reducerii metalelor în soluție.....	37
II.2 Reducerea în mediu apos și emulsie.....	39
II.3 Factorii care influențează mărimea particulelor.....	40
III. Funcționalizarea sistemelor coloidale.....	46
III.1 Funcționalizarea directă.....	47
III.2 Modificarea ligandului existent pe suprafața prin reacții de cuplare.....	48
III.3 Înlocuirea liganzilor existenți cu liganzi ce conțin grupe funcționale.....	49
III.3.1 Factori care influențează schimbul de ligand.....	51
III.3.2 Funcționalizarea nanoparticulelor cu biomolecule.....	52
IV. Purificarea nanoparticulelor funcționalizate.....	58
V. Proprietățile și aplicațiile nanoparticulelor de aur.....	61
V.1 Capacitatea de adsorbție a plasmonilor.....	62
V.1.1 Aplicații datorate capacității de adsorbție.....	64
V.2 Reflexia luminii determinate de plasmoni.....	65
V.2.1 Aplicații datorate proprietății de reflexie.....	66
V.3 Proprietăți catalitice și aplicații.....	66
VI. Tehnici de caracterizare a sistemelor coloidale.....	68
VI.1 Metode spectroscopice.....	68
VI.1.1 Spectroscopie IR și FTIR.....	68
VI.1.2 Spectroscopie UV-VIS.....	69
VI.2 Metode Microscopice.....	71
VI.2.1 Microscopie TEM și SEM.....	71
VI.2.2 Microscopie AFM.....	72
Concluzii .....	75

## Contributii Originale

I. Func ionalizarea Nanoparticulelor de aur.....	78
I.1 Func ionalizarea nanoparticulelor de aur cu Aminoacizi.....	83
I.1.1 Influenta pH-ului i concentra iei aminoacizilor asupra func ionalizarii nanoparticulelor de aur.....	83
I.1.1.1 Func ionalizarea nanoparticulelor de aur cu glicina.....	87
I.1.1.2 Func ionalizarea nanoparticulelor de aur cu alanina.....	91
I.1.1.3 Func ionalizarea nanoparticulelor de aur cu lizin .....	94
I.1.1.4 Func ionalizarea nanoparticulelor de aur cu cisteina.....	97
I.1.1.5 Func ionalizarea nanoparticulelor de aur cu metionina.....	100
I.1.2 Nanostructuri uni-dimensionale pe baz e de Nanoparticule Aur-Aminoacid.....	103
I.1.2.1 Prepararea i caracterizarea nanostructurilor 1D lizin /histidina-GNP.....	103
I.1.2.2 Prepararea i caracterizarea nanostructurilor 1D Aspartat-GNP.....	106
I.1.3 Nanostructuri bi-dimensionale pe baz e de Nanoparticule de Aur-Aminoacid.....	110
I.1.3.1 Prepararea nanostructurilor 2D.....	111
I.1.3.2 Caracterizarea nanostructurilor 2D.....	112
I.1.3.2.1 Caracterizarea morfologica i optic a nanostructurilor 2 D.....	112
I.1.3.2.2 Caracterizarea electric a nanostructurilor 2D.....	116
Concluzii.....	118
I.2 Func ionalizarea Nanoparticulelor de aur cu protein.....	121
I.2.1 Func ionalizarea nanoparticulelor de aur cu proteine serice (BSA,HSA).....	124
I.2.1.1 Influenta concentra iei BSA i a electrolitului asupra interac iunii cu GNP.....	123
I.2.1.2 Influen a pH-ului asupra interac iunii GNP-HSA.....	131
I.2.2 Func ionalizarea nanoparticulelor de aur cu collagen.....	135
I.2.2.1 Influen a pH-ului i agentului reduc tor asupra func ionalizarii collagenului.....	136
I.2.2.2 Caracterizarea fizico-chimic a fibrelor de collagen functionalizate.....	141
I.2.3 Aplica iile nanoparticule de aur functionalizate cu collagen.....	146
Concluzii.....	167
I.3 Func ionalizarea nanoparticulelor de aur prin schimb de liganzi.....	172

I.3.1 Func ionalizarea nanoparticulelor de aur cu PEG-OH.....	172
I.3.1.1. Prepararea nanoparticulelor de aur.....	172
I.3.1.2. Schimbul de liganzi.....	174
I.3.2. Func ionalizarea nanoparticulelor de aur cu PEG-COOH.....	177
I.3.3 Func ionalizarea nanoparticulelor de aur cu fosfine.....	178
Concluzii.....	180
I.4 Func ionalizarea nanoparticulelor de aur cu medicamente.....	181
I.4.1 Func ionalizarea nanoparticulelor de aur cu temozolomide.....	182
I.4.2. Func ionalizarea nanoparticulelor de aur cu cisplatin, doxorubicina si capecitabine.....	191
I.4.3 Aplica ii ale nanoparticulelor de aur func ionalizate cu cisplatin, capecitabine i doxorubicina în terapia cancerului.....	199
I.4.4 Aplica ii ale nanoparticulelor de aur func ionalizate cu temodal în terapia cancerului de gliinoame.....	212
Concluzii.....	219
II. Distrugerea controlat a structurilor subcelulare în terapia cancerului.....	221
II.1 Distrugerea controlat a structurilor subcelulare cu nanoparticule de aur activate cu laser.....	223
II.1.1 Influen a concentra iei si puterii laserului nanoparticulelor de aur asupra mortalitatii celulare.....	230
II.1.2 Influen a timpului de expunere la iradiere.....	234
Concluzii.....	242
Bibliografie.....	245
Anexe.....	273
Lista lucrarilor publicate.....	299

## **Abstract**

In cadrul tezei de doctorat sunt prezentate principale aspecte teoretice si contributiile personale referitoare la prepararea sistemelor de aur coloidal , functionalizarea acestuia cu diferite molecule in vederea utilizarii in scopuri biomedicale.

Partea teoretica abordeaza principalele aspecte ale nucleatiei, cresterii germenilor, stabilitatea si purificarea acestora. Contributiile personale contin elemente referitoare la functionalizarea GNP cu aminoacizi, proteine si medicamente. Functionalizarea a fost demonstrata prin analize specifice: TEM, AFM, FTIR, XPS, UV-VIS. Nanostructurile preparate au fost folosite ca vectori in tratamentul cancerului hepatic si de glioame precum si in diferentierea celulara. Rezultatele obtinute prefigureaza noi cai de tratament a cancerului si procedee avansate de diferentiere celulara.

The main topic of the thesis describes the preparation of colloidal gold systems and their functionalization with different molecules for biomedical purposes.

In the theoretical part are summarized the main aspects of nucleation, growth, stability and purifications. The Personal contributions contain elements related to GNP functionalization with amino acids, proteins and drugs. Functionalization was demonstrated by specific analysis such as: TEM, AFM, FTIR, XPS, UV-VIS. The prepared aminoacids based-nanostructures were used as vectors to treat liver cancer and glioblastoma multiform tumor. The protein based-nanostructure were used to prepare nanosubstrate that sustain cell differentiation into neuronal and cardiac lines. The results obtained offer a new chemotherapy strategy for patients diagnosed with unresectable recurrent malignant gliomas and hepatocarcinoma and advanced cellular differentiation processes.

## Introducere

Unul dintre domeniile care au revoluționat dezvoltarea științifică și tehnică în ultimul timp îl reprezintă nanotehnologia. La scară nano materialele au cu totul alte proprietăți decât cele la scară macro, iar secretul obținerii de astfel de materiale constă în stabilirea modului de asamblare a nanoclusterilor, ceea ce le oferă proprietăți electronice, structurale și chimice caracteristice.

Nanomaterialele (particulele cu diametru între 1-100 nm) pot fi formate din orice substanță incluzând metale<sup>1-2</sup>, semiconductori<sup>3-4</sup>, oxizi metalici (pigmenți metalici), polimeri organici.<sup>5-9</sup>

Dezvoltarea nanomaterialelor a permis apariția în domeniul biomedical a unor noi metode de sesizare și diagnosticare rapidă a diferitelor maladii, noi metode de tratament, precum și a unor noi materiale cu proprietăți curative superioare.

Un alt domeniu în care nanomaterialele s-au impus și au revoluționat este cel al electronicii și electrotehnicii. În acest sens pot fi amintite nanotuburile de carbon care datorită proprietăților deosebite (conductibilitate electrică și termică mare, rezistență mecanică și chimică înaltă) au dus la dezvoltarea de noi aplicații: conductorii electrici<sup>10</sup>, materiale plastice cu conductivitate electrică ridicată<sup>11</sup>, combustibili și electrozi pentru celule electrice<sup>12</sup>. Astfel după datele Institutului NIST<sup>13</sup> peste 60% din cantitatea de nanomateriale pe bază de carbon sunt utilizate ca suport de catalizatori în industria chimică.

Coloizii de aur constituie unul dintre cele mai vechi subiecte științifice studiate. Aurul a fost folosit încă din antichitate în estetică și în scopuri curative. În secolul al 17-lea aurul a fost utilizat în colorarea sticlei și ceramicii, aplicații similare continuând până în prezent<sup>22</sup>. În 1600 Paracelsus publică prepararea primului coloid de

aur "aurum potable, oleum auri; quinta essentia auri" prin condensarea clorurii aurice ( $\text{AuCl}_3$ ) într-un extract alcoolic din plante<sup>23</sup>, acesta fiind considerat primul medicament sintetic. Printre primele aplicații medicale a coloizilor de aur în diagnosticare amintim utilizarea lor în diagnosticarea sifilisului, dar fără rezultate semnificative. Mai mult, efectele sale curative au fost contestate, afirmându-se că tinctura aurică este lipsită de orice valoare medicală sau terapeutică.

Apariția nanomaterialelor a deschis noi căi de cercetare științifică (fundamental /aplicativă) în domeniul biomedical cum ar fi: măsurarea concentrațiilor mici de bacterii, imagistica cu ajutorul rezonanței magnetice<sup>17</sup>, descoperirea de noi vectori medicamentoși<sup>18</sup>, detecția de anumite proteine<sup>19</sup>, separare și purificare de celule și molecule<sup>20</sup>. Nanoparticulele de aur sunt intens utilizate în confecționarea de biosenzori cu o specificitate foarte mare.

În lucrarea de față mi-am propus cercetarea și dezvoltarea unor aspecte importante, teoretice și practice, care apar la aplicarea în scopuri biomedicale a nanostructurilor pe bază de aur coloidal, conținutul tezei fiind structurat în două părți distincte.

O parte teoretică, pe baza literaturii de specialitate, în care sunt abordate aspecte privind fenomenologia sistemelor coloidale, prepararea și proprietățile acestora. În partea două sunt prezentate contribuțiile personale referitoare la prepararea nanoparticulelor de aur, funcționalizarea lor cu diferite biomoleculi precum și aplicațiile biomedicale ale acestora.

Teza a fost structurată pe VI capitole teoretice și II capitolele practice continuând contribuțiile originale. Rezultatele științifice s-au concretizat în ...pagini ale tezei care conține **81** figuri, **18** tabele, și **239** referințe bibliografice din care **2** sunt referințe bibliografice personale.

Mentionez că în cadrul rezumatului sunt menținute atât numerotarea capitolelor cât și trimiterile bibliografice așa după cum sunt prezentate în teza.

## **CONTRIBUȚII ORIGINALE**

### **I. Funcționalizarea Nanoparticulelor de aur**

Cercetările experimentale întreprinse în cadrul tezei au avut ca obiectiv prepararea de sisteme coloidale pe baza de aur care prin funcționalizare cu diferite molecule activ biologice (aminoacizi, proteine, medicamente) să conducă la nanostructuri cu aplicabilitate în domeniul biomedicale. Am urmărit obținerea de nanostructuri în vederea aplicării lor în calitate, vectori de transport al medicamentelor, nanosuporturi în realizarea biosenzori și a diferențierii celulare.

#### **1.1 Funcționalizarea nanoparticulelor de aur cu aminoacizi**

În cadrul acestui capitol am abordat funcționalizarea nanoparticulelor de aur cu aminoacizi în calitate de liganzi precum și modul în care principalii factori (pH, concentrația) influențează caracteristicile legăturii ligand-nanoparticul .

##### **1.1.1 Influența pH-ului și concentrației aminoacizilor asupra funcționalizării nanoparticulelor de aur**

Dintre aminoacizii esențiali și neesențiali, în cadrul lucrării de față s-au ales pentru studiu glicina, alanina, cisteina, metionina și lizina. Această alegere s-a efectuat în funcție de numărul de grupuri  $-NH_2$ ,  $-SH$  și de lungimea lanțului hidrocarbonat.

Modificările care au loc asupra cuplului aminoacid-GNP au fost urmărite experimental prin spectroscopie UV-VIS, folosind un spectrometru JASCO V-570. S-a măsurat absorbanta la diferite valori ale pH-ului și diferite concentrații ale ligandului.

*Mod de lucru:*

*Caracterizarea nanoparticulelor de aur*



Mărimea particulelor a fost evaluată folosind Microscopia Electronică de Transmisie (TEM), și arată un diametru mediu de 32 nm. (Fig. 2)

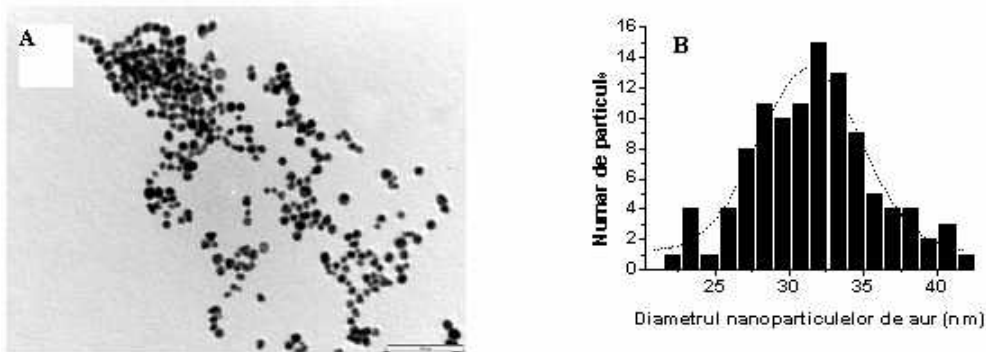


Fig.2. Imaginea TEM a nanoparticulelor de aur de 32 nm (A) împreună cu histograma distribuției lor (B), scala de 200 nm (peste 100 de nanoparticule au fost analizate)

Influența concentrației și pH-ului asupra funcționalizării GNP cu aminoacizi este prezentată în tabelele 1-5

Tab.1- Valorile absorbanței Gly/GNP pentru diferite pH-uri în funcție de concentrație

pH-2		pH-4		pH-6		pH-8	
Abs (u.a)	C x10 <sup>-4</sup> (M)	Abs (u.a)	C x10 <sup>-4</sup> (M)	Abs (u.a)	C x10 <sup>-4</sup> (M)	Abs (u.a)	C x10 <sup>-4</sup> (M)
0,29	0,2	0,336	0,6	0,32	0,3	0,644	0,3
0,238	0,7	0,317	2,6	0,3	1,3	0,601	1,2
0,173	1,7	0,28	7,6	0,262	3,3	0,516	2,1
0,133	2,7	0,242	12,6	0,229	5,3	0,44	3
		0,2	22,6	0,195	8,3	0,375	3,9
				0,168	12	0,330	4,8
				0,148	15,3	0,296	5,7
						0,270	6,6
						0,248	7,5
						0,226	8,4
						0,214	36,3
						0,185	50

Tab.2 : Valorile absorbanței Ala/GNP pentru diferite pH-uri în funcție de concentrație

pH-2		pH-4	
Abs (u.a)	C x10 <sup>-4</sup> (M)	Abs (u.a)	C x10 <sup>-4</sup> (M)
0,206	2,0	0,271	2,0

0,185	3,0	0,242	3,0
0,234	1,0	0,303	1,0
0,166	4,0	0,217	4,0
0,151	5,0	0,194	5,0
0,138	6,0	0,171	7,0
0,128	7,0	0,152	9,0
0,115	8,0	0,134	11

**Tab.3-** valorile absorban ei lys-GNP, la pH=2

pH-2		
Abs (u.a)		C x10 <sup>-4</sup> (M)
$\lambda=532$ nm	$\lambda=640$ nm	
0,179	0,17	3,0
0,153	0,161	6,0
0,138	0,152	9,0
0,127	0,139	19,0
0,114	0,124	39,0
0,100	0,105	69,0
0,086	0,092	119

**Tab.4 -** Valorile absorban ei cisteina-GNP, la diferite valori ale pH-ului

pH-2		pH-4 8		pH-6		pH-8	
Abs (u.a)	C x10 <sup>-4</sup> (M)	Abs (u.a)	C x10 <sup>-4</sup> (M)	Abs (u.a)		Abs (u.a)	C x10 <sup>-4</sup> (M)
				$\lambda=532$	$\lambda=640$		
0,256	1,0	0,246	1,0	0,241		0,224	1,0
0,205	2,0	0,227	2,0	0,212		0,190	2,0
0,188	4,0	0,209	3,0	0,195		0,163	3,0
0,166	5,0	0,183	5,0	0,185		0,138	4,0
0,139	10	0,155	8,0	0,172			
		0,131	12	0,151			
		0,105	17	0,139			
		0,079	27				

**Tab.5 -** Valorile absorban ei diferitor concentratii de met-GNP, la pH=2

pH-2		
Abs (u.a)		C x10 <sup>-4</sup> (M)
$\lambda=532$ nm	$\lambda=640$ nm	
0,144	0,145	1,0
0,122	0,134	2,0
0,099	0,103	3,0

0,075	0,087	10
-------	-------	----

Tria legăturii și modul de legare ligand-nanoparticul este puternic influențat de pH. La concentrație mare a ionilor de hidroniu, pH=2 forma amfiionica a aminoacidului trece în formă cationica, gruparea  $\text{NH}_3^+$  constituie un centru atractiv pentru GNP, purtător de sarcină negativă. La pH intermediar (peste punctul izoelectric) și bazic aminoacidul se află sub formă anionică. Între nanoparticula de aur încărcată negativ și sarcina negativă a aminoacidului se vor manifesta forțe de repulsie, astfel cuplarea aminoacid-nanoparticul are loc prin forțe slabe de tip Van der Waals slabe.

Se constată că odată cu creșterea concentrației de aminoacid crește cantitatea aminoacidului adsorbit pe suprafața nanoparticulelor iar plasmonii acestora sunt compensați de către protonii din grupările amino ale ligandului (glicina), astfel că absorbția scade, picul aplatizându-se tot mai mult.

Reprezentând absorbția în funcție de pH, (**Abs/pH**) pentru diferite concentrații ale soluției de aminoacizi, în toate cazurile se constată o modificare a pantei drepte în apropierea punctului izoelectric, adsorbția fiind maximă la punctul izoelectric.

Se constată că odată cu creșterea concentrației de cisteina se produce o deformare a picului în comparație cu glicina. Pe măsură ce concentrația lizinei crește, absorbția scade, concomitent cu accentuarea deformării picului, astfel încât de la o concentrație  $c_{\text{lys}}=9 \times 10^{-4}$  M apar două lungimi de undă la care se produce absorbția,  $\lambda_1=532$  nm respectiv  $\lambda_2=640$  nm. Apariția celui de-al doilea maxim este determinat de aglomerarea nanoparticulelor sub formă de lanțuri.

### ***1.1.2 Nanostructuri uni-dimensionale pe bază de Nanoparticule de Aur-Aminoacizi***

În ultimul timp, nanoparticulele de aur sunt intens studiate datorită proprietăților optice care dau un mare potențial de aplicare în biomedicină. Nanoparticulele de aur pot fi ușor asamblate în nanostructuri unidimensionale (1D) utilizând biomolecule (aminoacizi, ADN, colagen)<sup>190-193</sup> în calitate de agent de captare.

Utilizarea aminoacizilor ca agenți de captare este determinată de ușurința acestora de a forma forma agregate cu diferite nanoparticule metalice<sup>194-198</sup>. Capacitatea ridicată de captare se datorează grupurilor funcționale: *tiolice*, *-carboxilice*, *-aminice* pe care acestea le dețin.

#### ***1.1.2.1 Prepararea și caracterizarea nanostructurilor 1D lizină /histidina-GNP***

*Reactivi utilizați:* HAuCl<sub>4</sub>, NaBH<sub>4</sub>, L-lizină, histidină, de puritate p. a. livrați de firma *Sigma Aldrich*.

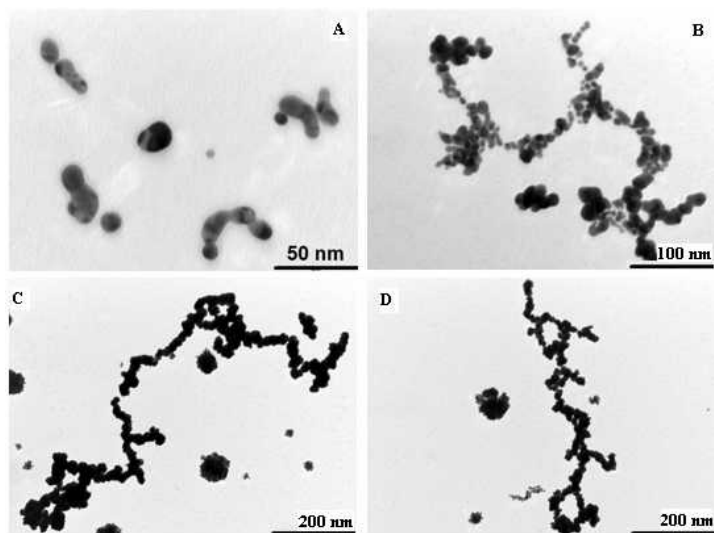
*Protocol de lucru:*

Prepararea GNP s-a efectuat prin reducerea aurului dintr-o soluție de HAuCl<sub>4</sub> cu borohidrida în prezența lizinei/histidinei. S-a preparat soluție 0,001% HAuCl<sub>4</sub> peste care s-a adăugat 1 ml soluție lizină c=0,075% dizolvată în apă *bi*-distilată. După amestecarea intens timp de 15 min s-a adăugat 1 ml din soluția agentului reductor, NaBH<sub>4</sub> c=0,075%. S-a continuat agitarea intens încă 5 min, după care s-au supus purificării prin spălări succesive cu apă *bi*-distilată și centrifugare timp de 15 min la 10000 rpm.

*Caracterizarea nanostructurilor lizină-GNP*

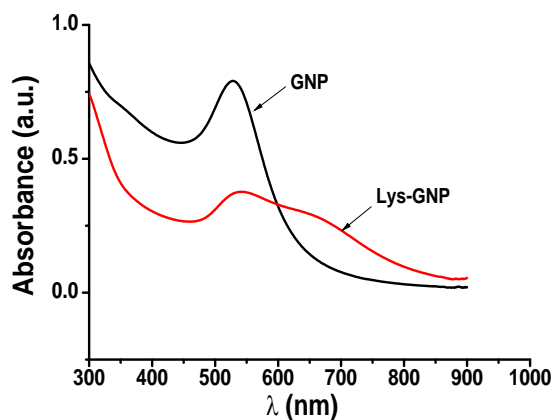
În soluții slab acide pH=5, gruparea *-aminică* are pK<sub>a</sub>=8,9, iar cea terminală, pK<sub>a</sub>=10,28, astfel că acestea sunt protonate, în timp ce gruparea carboxilică cu pK<sub>a</sub>=2,2 este disociată (având sarcină negativă). În această situație moleculele de lizină captează nanoparticulele de aur cu gruparea amino terminală.

Cuplarea prin intermediul grupării *-aminice* nu este posibilă întrucât apar forțe de repulsie între plasmonii particulei de aur și gruparea carbonil. Distanț mic între gruparea carboxilică și *-aminică* determină formarea unui moment de dipol la suprafața particulei. Acest moment de dipol induce asamblarea nanoparticulelor de aur sub formă de lanțuri (**Fig16**).



**Fig16 A-D:** Imagini TEM ale nanostructurilor de lizina-GNP dupa A) 15 min B) 8h C-D) 24h

Microscopia TEM arata c imediat dup preparare lizina capteaz nanoparticulele de aur i formeaz aglomerate care pentru început au lungime i m rime de ordinul nanometrilor (**Fig 16 A**). Datorit interac iunilor electrostatice care se manifesta între grup rile -amino i carboxilice ale nanoparticulelor, acestea se unesc dup planul {111} sub form de lan uri, care dup 24 h ajung de ordinul de ordinul micronilor (**Fig16 B-D**).



**Fig17.** Spectrul UV-VIS al nanoparticulelor de aur nefunctionalizate (culoarea neagra) comparativ cu cel al nanoparticulelor functionalizate cu lizina (rosu)

Se observ c nanoparticulele de aur absorb la 530 nm i au un maxim al absorban ei în jur de 0.8 (a.u). În cazul nanostructurilor 1D lizin -GNP se produce o deplasare a lungimii de und la 550 nm, iar absorbanta

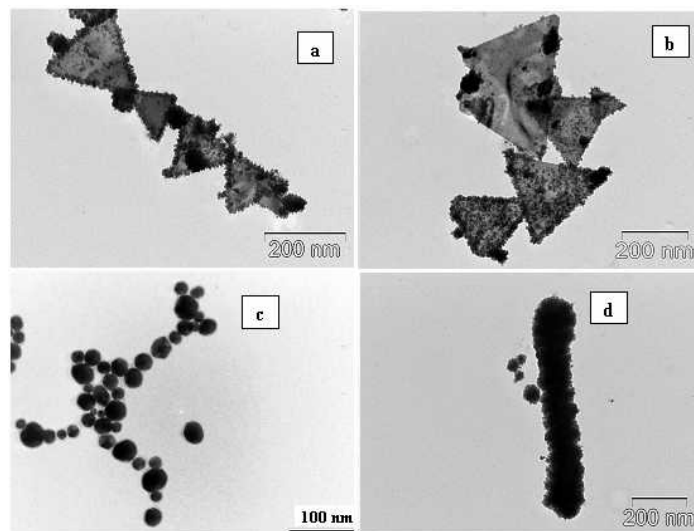
are valori mai mici cu 0,45 a.u.. Autoasamblarea sub formă de fire a nanoparticulelor lizin-GNP determina apariția unui de-al doilea maxim la 630 nm determinat de vibrațiile longitudinale. Atenuarea accentuată a absorbției cu 0,28 u. a. poate fi explicată prin absorbția puternică a lizinei la suprafața nanoparticulelor de aur, ceea ce atenuează vibrația electronilor de la suprafață.

### ***1.1.2.2 Prepararea și caracterizarea nanostructurilor 1D Aspartat-GNP***

Utilizarea acidului aspartic în calitate de agent reductor și de agent de funcționalizare conduce la structuri și morfologii diferite ale nanoparticulelor de aur.

În mediu slab acid, gruparea amino a acidului aspartic are  $pK_a=9,6$ , în timp ce gruparea  $\alpha$ -carboxilică are  $pK_a=1,8$ , ceea ce face ca gruparea amino să fie protonată în timp ce gruparea carboxilică se află în formă disociată.

În funcție de concentrația acidului aspartic, nanostructurile 1D formate pot avea diverse morfologii (**Fig. 19 a-d**): Triunghiulare, Bastonaie, Fir.



**Fig. 19 a-d**: Imagini TEM pentru diferite morfologii ale L-aspartic-GNP: a,b) raport  $\text{HAuCl}_4/\text{Acid aspartic}$ -1:3 după 9h respectiv 24h, c)  $\text{HAuCl}_4/\text{Acid aspartic}$ :1:1 (după 24 h), d)  $\text{HAuCl}_4/\text{Acid aspartic}$ -1:1,25 (după 24 h)

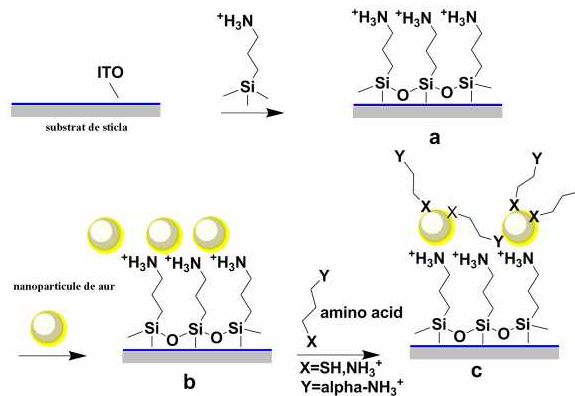
### **1.1.3 Nanostructuri bi-dimensionale pe bază de Nanoparticule de Aur-Aminoacid**

Structurile bi-dimensionale (2D) obținute prin asamblarea nanoparticulelor metalice cu diverse biomoleculi, în particular aminoacizi, este un subiect intens studiat datorită vastelor posibilități de aplicare.

în: microelectronica, optoelectronica, biosenzori<sup>201-205</sup>. Nanostructurile de metale nobile sunt folosite ca elemente cheie în asamblarea aminoacizilor pe diferite substraturi. Proprietățile nanostructurilor 2D depind de mărimea nanoparticulelor, agentul de cuplare și modul în care se face asamblarea.

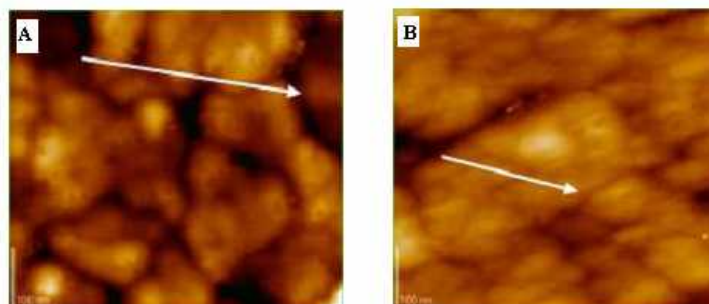
### I.1.3.2.1 Caracterizarea morfologică și optică a nanostructurilor 2D

Funcționalizarea GNP-ului cu aminoacizii s-a efectuat prin schimb de liganzi. Liganzul utilizat în calitate de stabilizator, citratul, a fost îndepărtat de pe suprafață, iar nanoparticulele de aur au fost asamblate cu aminoacid (L-lizina, L-cisteina) după schema din **Fig.21**.



**Fig.21 a-c:** Mecanismul de asamblare a aminoacizilor cu GNP pe substrat ITO: **a)** silanizarea suprafeței cu APTMS, **b)** atașarea nanoparticulelor de aur pe substrat, **c)** cuplarea aminoacizilor pe monostratul de GNP

Nanostructurile de aur depuse pe sticlă ITO se asamblează în agregate mari, având dimensiuni între 40-200 nm (**Fig.23 A**), mai mult, contactul dintre acestea este foarte slab ceea ce se reflectă prin valori ridicate ale rezistenței electrice a GNP/ITO, determinat prin curbele Curenți-Tensiune. După imersarea în soluție de aminoacid (L-lizina sau L-cisteina) de  $c=10^{-3}M$  timp de 18 h se constată o schimbare semnificativă a morfologiei (**Fig.23 B**).

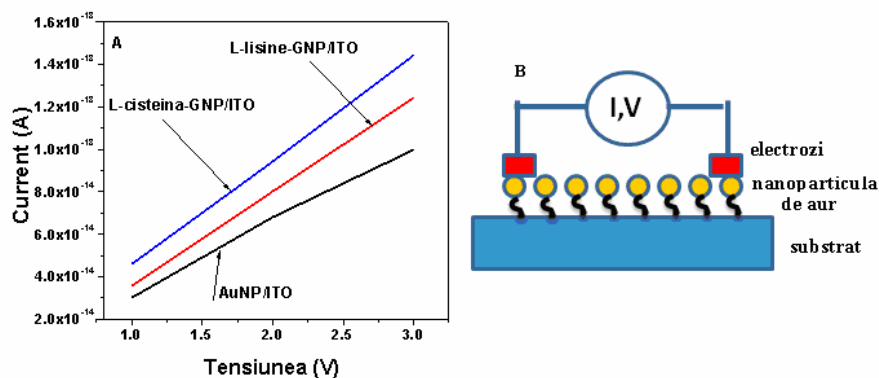


**Fig.23 A, B** Imagini AFM în Modul Tapping<sup>TM</sup>: A) Monostratul GNP pe sticl silanizat B) Stratul de L-lysine/GNP pe sticl silanizat ITO; scala 100 nm

### 1.1.3.2 Caracterizarea electric a nanostructurilor 2D

Potențialele utilizări a nanostructurilor aminoacid-GNP/ITO se pot regăsi în electronică și biosenzori., ceea ce presupune caracterizarea lor din punct de vedere electric.

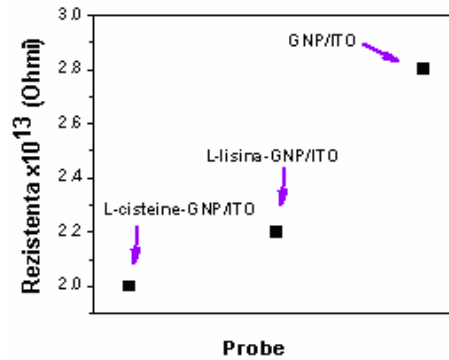
Proprietățile electrice a substratului GNP asamblat pe sticl ITO silanizata au fost investigate prin măsurători I-V (**Fig.25**).



**Fig.25A,B** Caracteristicile I-V a monostraturilor de GNP, L-Lizina-GNP și L-cisteina-GNP pe sticl ITO silanizat (Aa), Schema instalației de măsurare (B)

Se observă din **Fig.25A**, ca la valori mici ale curentului s-a obținut, pentru toate cazurile intensități foarte mici ale curentului  $10^{-14}$ ,  $10^{-13}$  A. După cum era de așteptat rezistențele electrice au valori foarte mari ( $2-2,8 \times 10^{13}$ ), după cum rezultă din **Fig.26**





**Fig.26** Rezistența electrică a monostraturilor de GNP respectiv aminoacid-GNP pe sticla silanizată

Nanostructurile GNP realizate pe sticlă ITO silanizată nefuncționalizată cu aminoacizi prezintă rezistența cea mai mare, ceea ce se explică prin asamblarea neuniformă cu multe spații libere între agregate. Odată cu funcționalizarea cu aminoacizi, rezistența electrică scade semnificativ până la  $2,2 \times 10^{13}$  pentru ansamblurile cu lizină și  $2 \times 10^{13}$  pentru ansamblurile cu cisteină. Valorile mai mici ale rezistenței nanostructurilor realizate cu cisteina față de cele cu lizina se explică prin adsorbția puternică a acesteia la suprafață; densitatea de electroni este mai mare, ceea ce determină o rezistență mai mică.

Modificarea rezistenței electrice a nanostructurilor funcționalizate arată că modul de asamblare, suportul și liganzii utilizați, pot să conducă la o gamă largă de nanostructuri cu proprietăți electrice specifice diferitor domenii de utilizare.

## **I.2 Funcționalizarea Nanoparticulelor de aur cu proteine**

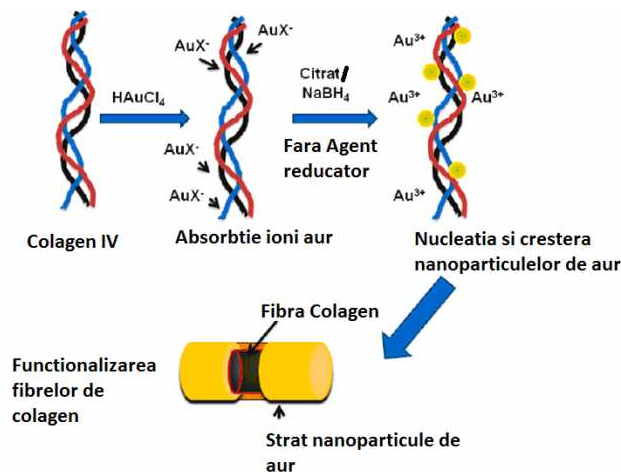
În cadrul acestui capitol sunt prezentate rezultatele privind interacțiunea nanoparticulelor de aur cu proteine, și anume cu albumina serică umană (HSA- Human Serum Albumin) cu albumina serică bovină (BSA- Bovin Serum Albumin) și Colagen. Voi evidenția influența pe care o are modul de preparare a nanoparticulelor (agentul stabilizator, natura surselor aurice, natura reductorului) precum și influența pH-ului asupra interacțiunii protein-GNP.

## I.2 Func ionalizarea nanoparticilor de aur cu collagen

Unul dintre materialele cel mai des folosite în medicina regenerativă este collagenul. Este biocompatibil cu organismele vii și are un randament mare de biointegrare și biodegradabilitate. Mai mult, în funcție de scopul utilizării, proprietățile lui pot fi îmbunătățite prin diferite tratamente precum: reacții chimice cu glutaraldehid, izocianati, epoxizi, bis-imide, etc, precum și prin tratamente de iradiere cu UV sau raze- . Cuplat cu nanoparticulele de aur se crează o structură capabilă de a accepta la suprafața diferite molecule și anume: peptide, medicamente, factori de creștere fără ca structura lui să fie alterată<sup>208</sup>. În prezent există puține studii privind capacitatea de proliferare a celulelor stem pe suporturi nanostructurate<sup>209</sup>.

### I.2.1 Influența pH-ului și agentului reductor asupra func ionalizării collagenului

Sucesiunea transformărilor și operațiilor la metalizarea collagenului este prezentată în **Fig.35**. La început se observă o schimbare de culoare ceea ce indică acoperirea fibrelor de collagen cu nanoparticule de aur, care trece de la galben la roz, care în timp (3-5 min) se intensifică spre roz închis și chiar roșu, culoarea final fiind determinată de mărimea particulelor de aur.



**Fig.35.** Reprezentarea schematică a procesului de func ionalizare a collagenului, rezultând nanofibre de collagen acoperite cu un strat subțire de nanoparticule de aur.

Când nu se folosește agent reductor, Au (III) este redus la Au (0) de către

grupurile funcționale ale colagenului cu potențial de reducere. De precizat că reducerea direct (fără reductor) se realizează numai în mediu acid.

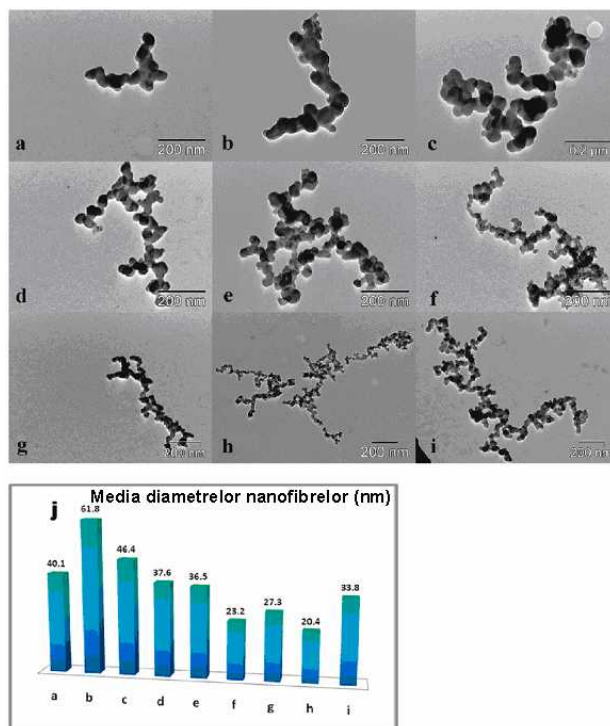
pH-ul soluției influențează nucleația și creșterea nanoparticulelor de aur pe suprafața colagenului. Diferiți autori au efectuat reducerea aurului la diferite pH-uri utilizând diverși agenți de reducere<sup>210</sup>.

Prin simpla manipulare a condițiilor de asamblare am generat nanofibre de colagen de diferite dimensiuni ca diametru și lungime<sup>211</sup>. Prin creșterea pH-ului de la 3,5 la 11 și prin diminuarea vitezei de agitare firele de colagen au abilitatea de a se cupla sub formă de nanofibre a căror lungime și diametru a variat în limitele: 1-2 μm pentru lungime și 20-60 nm în diametru.

Folosind ca și agent de reducere citratul de sodiu, raport molar HAuCl<sub>4</sub>/colagen/citrat de sodiu 1:1:1 (w/w) și pH=3,5 am obținut fibre scurte (400 nm) și diametru de 40 nm, în care nanoparticulele de aur au fost uniform distribuite (**Fig.35a**). În aceeași condiție, dar pH=5.5-6.5, se formează nanofibre de dimensiuni mai mari (**Fig.35 b,c**). La pH neutru și slab alcalin, (pH 7.0-9.0) am obținut fibre lungi dar cu o distribuție a nanoparticulelor neomogenă (**Fig.35d,e**). În mediu puternic alcalin, pH>9 fibra de colagen se distruge datorită procesului de hidroliză alcalină a acestuia (**Fig.35f**).

În cazul utilizării NaBH<sub>4</sub> în calitate de agent de reducere nanofibrele rezultate au aproximativ aceeași lungime (1.2-1.8μm) ca și în cazul citratului de sodiu (vezi **Fig.35 b,c**) dar diametrul lor este mai mic, întrucât dimensiunea nanoparticulelor de aur este mai mică (**Fig.35 g,h**). În cazul reducerii cu citrat, diametrul a fost de 60-65 nm și 20-27 nm când reducerea s-a făcut cu borohidruza.

În absența reductorului, la pH=5,5, rezultă nanofibre având diametrul de 30-35 nm și lungimea de 1-2 μm (**Fig.35i**). Capacitatea de adsorbție este mai mare în mediul acid (pH 3.5-5.5), condițiile slab acide favorizând reducerea ionilor de Au (III).

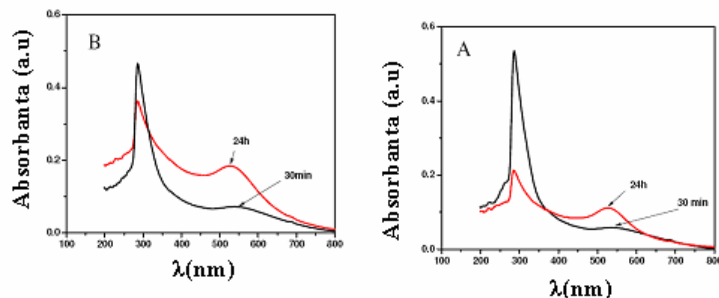


**Fig.35 a-j** : Imagini de microscopie de transmisie electronic (TEM) împreună cu histograma de distribuție a nanoparticulelor de aur în fibră de collagen. Imaginile TEM ale collagenului metalizat cu ioni de argint reducător la diferite pH-uri: folosind citrat de sodiu (**a**) - fibre scurte la pH=3.5; (**b**) nanofibre medii pH=5.5, nanofibre lungi la (**c**) pH=6.5, (**d**) pH=7, (**e**) pH=9, (**f**) pH=11. Borohidruza de sodiu-fibre lungi pH=5.5, (**g**) fibre lungi pH=7. Nefolosind reducător- (**i**) fibre lungi pH=5.5 (**j**) Histograma reprezentativă a nanofibrelor de collagen metalizate obținute în diferite condiții.

### I.2.2 Caracterizarea fizico-chimică a fibrelor de collagen funcționalizate

Nanofibrele de collagen obținute după condițiile arătate mai sus au fost caracterizate prin tehnici de spectroscopie UV-VIS și FTIR, microscopie de transmisie electronic (TEM), și conductibilitate electrică.

Spectroscopia UV-VIS confirmă formarea și adsorbția nanoparticulelor de aur în structura macromoleculii de collagen. Spectrul a fost monitorizat la 30 min (**Fig.36A**) și 24 ore (**Fig.36B**) după funcționalizare.

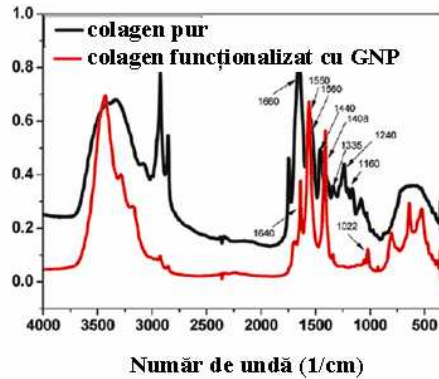


**Fig.36A, B.** Spectrul de absorb ie UV-VIS a structurilor de collagen metalizate la pH=5 dup 30 min respectiv 24 h (A) când NaBH<sub>4</sub> s-a folosit ca reduc tor (B) când nu s-a folosit nici un reduc tor.

Spectroscopia UV-VIS este o metod excelent pentru studiul form rii i aglomer rii nanofirelor func ionalizate. Se eviden iaz o deplasare i în acela i timp o l rgire a benzii plasmonice, dar i apari ia unui nou pic datorit asambl rii longitudinale în structura filiforma a nanofibrelor de collagen. În spectrul UV-VIS a collagenului func ionalizat se observ c apar dou picuri: la 300 nm, care arata existen a H<sub>2</sub>AuCl<sub>4</sub> în solu ie i 520-540 nm, banda caracteristic nanoparticulelor de aur. Intensitatea benzii cre te în timp, ceea ce indic functionalizarea complet a nanoparticulelor de aur.

Comparând cele dou metode de func ionalizare, cu i f r reduc tor, se poate spune c , atunci când reducerea se realizeaz cu un agent de reducere, procesele de nucleare i cre tere sunt foarte rapide, nanoparticulele fiind uniform distribuite, iar aglomerarea lor este evitat . În cazul în care nu se folose te agent reduc tor, reducerea are loc în timp cu viteza mica. Datorit fenomenelor difuzionale se produce aglomerarea nanoparticulelor de aur care nu mai sunt uniform distribuite pe toat suprafa a, reducerea realizându-se practic pe nuclee deja existente. Picul din jurul valorii de 520-540 nm sugereaza aglomerarea nanoparticulelor (Figura 1B).

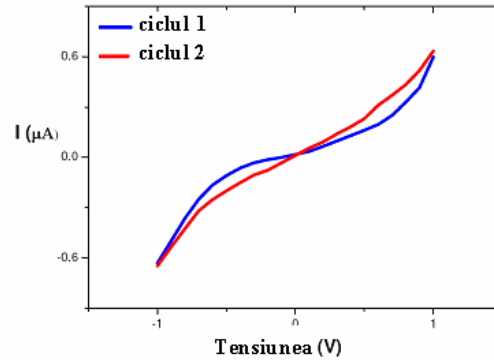
Confirmarea cupl rii nanoparticulelor pe suprafa a collagenului este deasemenea confirmat de c tre spectroscopia FTIR (**Fig.37**).



**Fig.37** Spectrul FTIR a structurilor de collagen (*negru*) comparativ cu cel al collagenului metalizat (*rosu*)

Unele picuri caracteristice collagenului metalizat i-au schimbat poziția în timp ce altele au dispărut după funcționalizare. Schimbări majore s-au produs în domeniul 3750-2750  $\text{cm}^{-1}$ . Vibrațiile corespunzătoare legăturii C-H au dispărut, această dispariție datorându-se lungimii mari ale fibrei de collagenului, fibră cu o orientare paralelă cu suprafața nanoparticulelor, orientare care joacă rolul unei bariere pentru procesul de transfer ion-electron<sup>212</sup>. Astfel se explică dispariția benzii corespunzătoare legăturii C-H. Mai mult, banda caracteristică amidei I (vibrațiile C=O) și s-a schimbat poziția de la 1660 la 1640  $\text{cm}^{-1}$ , iar pentru amida II (vibrațiile N-H) în afara planului precum și cele corespunzătoare legăturii C-N se deplasează la valori mai mari, de la 1550-1560  $\text{cm}^{-1}$ . Amida III, pentru vibrațiile C-N și N-H în plan, se deplasează de la 1240 la 1022  $\text{cm}^{-1}$  din cauza interacțiunii cu nanoparticulele de aur. De asemenea se poate observa că vibrațiile corespunzătoare grupurilor COOH și CO din hidroxiprolina sau partea glicozidică a collagenului se deplasează de la 1440 la 1408  $\text{cm}^{-1}$ .

Pentru a demonstra posibilitățile de utilizare ca substrat conductor în diferențierea celulară, am investigat proprietățile electrice ale nanofibrelor de collagen, prin măsurători curent-tensiune. Funcționalizarea omogenă a fibrelor de collagen, vizualizată prin microscopie electronică, sugerează că nanofibrele pot fi bune conductoare de electricitate. Curbele curent-tensiune (I-V) a fibrei de collagen metalizate având inițial rezistența electrică de 2.36 M $\Omega$  sunt prezentate în **Fig.38**.



**Fig.38** Curbele curent-tensiune (I-V) a fibrei de collagen metalizate

Dup cum se poate observa, forma curbe pentru prima măsurătoare I-V (**ciclul 1**) nu este una ohmică. Cele două platouri ale curbelor nu sunt simetrice și sunt centrate în jurul tensiunii de zero, ceea ce indică existența unor bariere probabile între granulele de aur, conducția între aceste granule are loc prin tunelare.

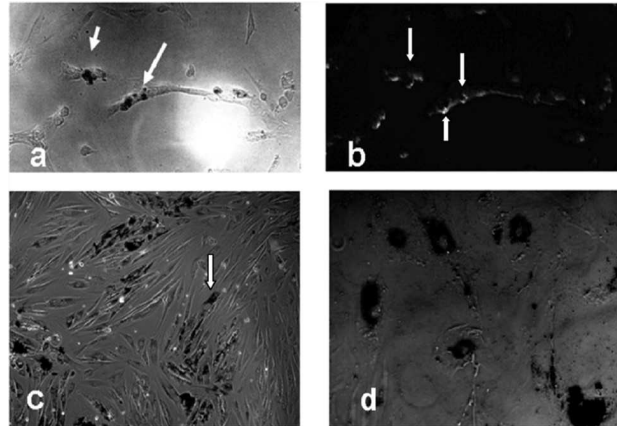
Schema mecanismului prin care este condus curentul electric în cazul formării de astfel de tunele este prezentat în **Fig.39**. Discontinuitățile apărute în nanofibră sunt determinate de existența unor spații libere din structura collagenului. Astfel se creează meandre de curent ce evită regiunile izolatoare deoarece prin acestea nu este posibil tunelarea. Altfel spus se poate afirma că conducția electrică are caracter percolativ, purtătorii de sarcină căutând drumurile ce au legături slabe cu rezistență minimă.

### ***1.2.3 Aplicațiile nanoparticulelor de aur funcționalizate cu collagen***

Nanostructurile collagen-nanoparticule de aur au fost utilizate pentru prepararea de substraturi metalizate, collagen-metalizat (GCNFs) care au fost folosite *in vivo* pentru diferențierea celulelor stem mezenchimale în celule stem miocardice și neuronale. Metoda care stă la baza preparării substratelor este *metoda strat cu strat*, metodă în care fiecare strat susține stratul următor. Diferențierea pe aceste tipuri de substraturi nu a fost studiată până în prezent.

Celulele cultivate pe substrat de collagen metalizat au capacitatea de a internaliza collagenul metalizat în primele ore. În acest sens, în literatura s-a publicat capacitatea celulelor mezenchimale de a internaliza collagen prin proteinele Upar și uPARAP/Endo180. Domeniul FnII fiind responsabil pentru internalizare. Procesul prin

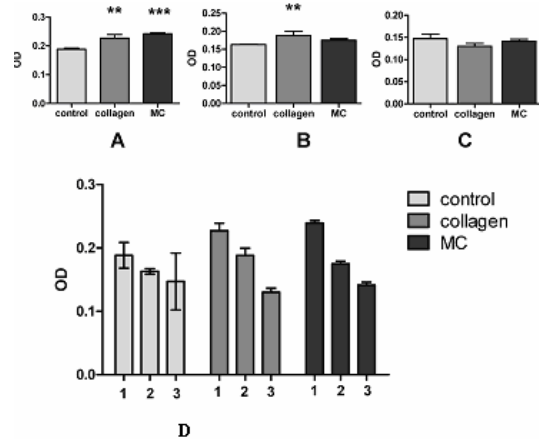
care are loc internalizarea este un proces endocitotic, cu o acumulare progresiv în special în regiunea perinucleara după câteva săptămâni, fără să se observe niciun semn de citotoxicitate (**Fig.41**) demonstrează biocompatibilitatea materialului substratului de colagen metalizat cu celulele stem, arătând totodată internalizarea acestuia.



**Fig.41a-d** Celule mezenchimale choroion cultivate pe substrat de colagen metalizat, arătând internalizarea intracelulară a fibrelor metalizate **a**) după 3 zile de cultivare, imagine în lumină albă, **b**) în lumină neagră, (magnificarea 200X), **c**) după 13 zile de cultivare în prezența de mediu de diferențiere miocardică **d**) după 1 lună de cultivare în prezența de mediu de diferențiere miocardică, imagine în lumină albă (magnificarea 400x).

Pentru a demonstra biocompatibilitatea substraturilor cu celulele stem adulte am folosit tehnica de analiză MTT și fluorimetrie FDA. Celulele Choroion-MSCs (Ch-MSC) au fost cultivate în diferite condiții pe mai multe tipuri de substraturi: (1) în mediu de celule stem, care menține celulele în stare nediferențiată; (2) celule expuse la mediu de diferențiere neuronală; (3) celule expuse la o doză de 5AZA pentru 24 h. Rezultatele testului MTT este prezentat în **Fig.42A-D**.





Testul MTT pentru celulele MSC în raport cu substratul și protocolul de diferențiere:

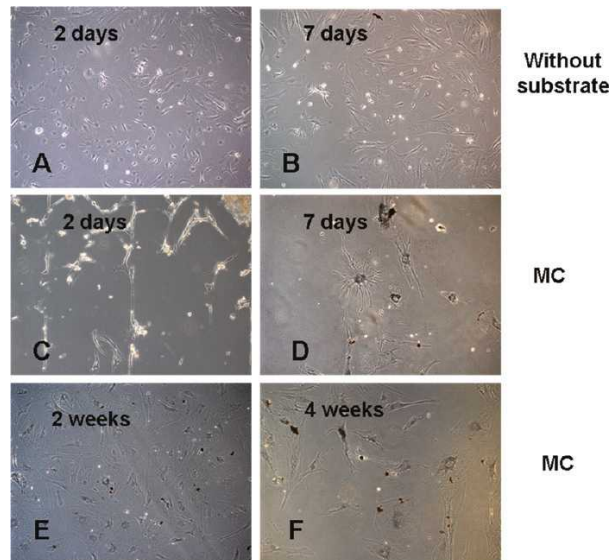
1. mediu de celule stem
2. mediu de diferențiere neuronală
3. mediu de diferențiere miocardică

**Fig.42A-D** Testul de proliferare MTT pentru Ch-MSCs cultivate 7 zile în: mediu de celule stem, stare nediferențiat (control) (A), în prezența mediului de diferențiere neuronal (B) în prezența de mediu de diferențiere miocardic (C), cu și fără substrat. (D) Analiza statistic ANOVA comparison Bonferroni post-test datelor MTT grupate în relație cu substratul și protocolul de diferențiere (D).

Datele din **Fig.42A-D** arată că analiza rezultatelor prin metoda "One way ANOVA" este semnificativ statistic pentru control vs substrat de collagen (coll) respectiv collagen metalizat (MC), (semnificația statistică a fost setată la  $p < 0.05$ ). Comparând viabilitatea și proliferarea folosind "two-way ANOVA Bonferroni post-test" pentru celulele Ch-MSCs folosind MTT-ul, diferențele între substraturi ale protocolului de diferențiere nu sunt semnificative, nu se observă nici o semnificație statistică între control vs collagen și substratul MC **Fig.42D**. Când nu s-a folosit nici un mediu de diferențiere analiza statistică "one way ANOVA" (setată la  $p < 0.05$ ) arată o creștere semnificativă a proliferării celulare pentru substraturile de collagen și collagen metalizat în comparație cu controlul (fără substrat) (**Fig.42A**). Când celulele au fost cultivate în mediu de cultură pentru diferențierea neuronală și cardiacă, proliferare mai mare s-a observat în cazul collagenului (**Fig.42B**). Aceasta sugerează începerea procesului de diferențiere. În cazul diferențierii miocardice (**Fig.42C**), nu se observă nici o diferență statistică între cele trei substraturi.

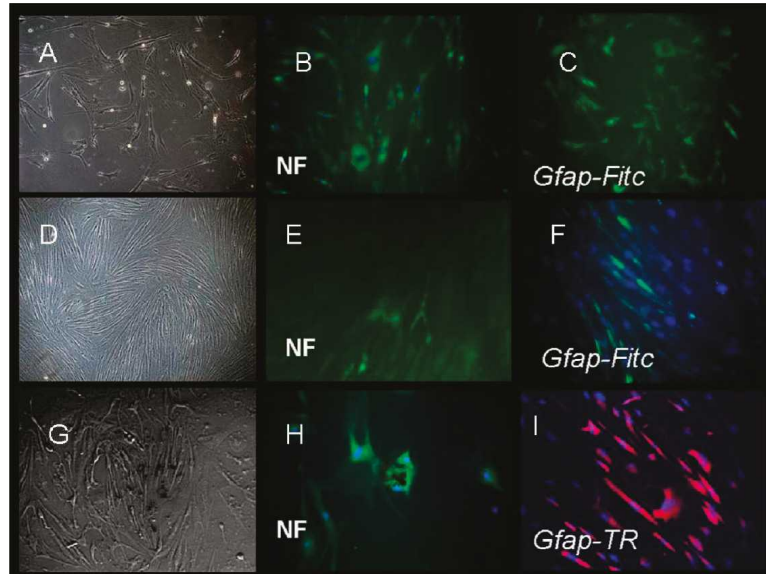
Cultivarea celulelor Ch-MSCs pe substrat de collagen metalizat arată morfologii în

care se poate clar evidenția internalizarea firelor de colagen-aur (după 2-4 săptămâni) din substratul de colagen metalizat (**Fig.43E,F**).



**Fig.44 A-F.** Imagini optice în lumină albă a celulelor MSCs cultivate în prezența de mediu de diferențiere neuronal după 2 și 7 zile, respectiv 2 și 4 săptămâni. (magnitudine 100x). (**A, B**) celulele cultivate fără substrat (control) (**C-F**) celulele MSC cultivate pe substrat de colagen metalizat MC.

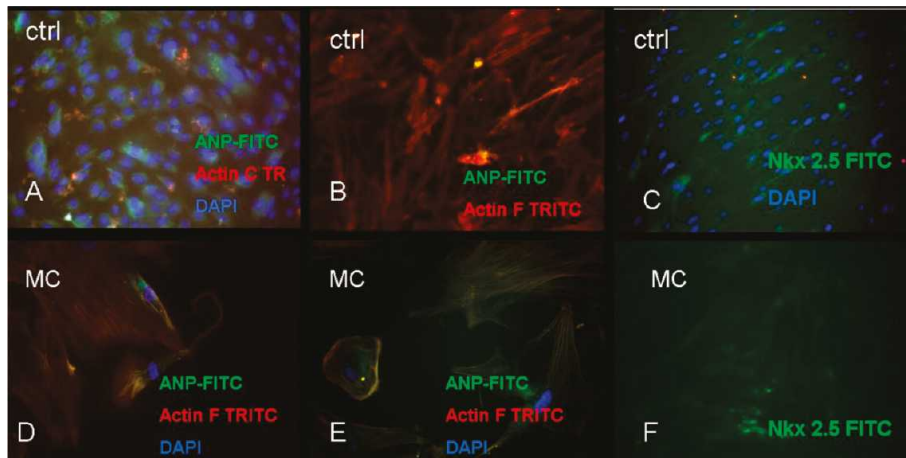
Pentru a demonstra procesul de diferențiere neuronal, celulele stem derivate din placenta au fost supuse testelor de imunohistochimie. Rezultatele obținute sunt prezentate în **Fig.45 A-I**. Am urmărit expresia markerilor: expresia GFAP și a neurofilamentelor (NF). GFAP a fost exprimat în celulele cultivate fără substrat (**Fig.45C**), și de asemenea pe toate substraturile folosite: colagen, colagen metalizat, (**Fig.45 F,I**). Expresia neurofilamentelor a fost observată în toate celulele diferențiate pe toate substraturile (colagen și MC), celulele neuronale exprimă mai puternic NF (**Fig.45 B,E,F**). Substratul de colagen metalizat induce schimbări dramatice în morfologia celulelor dând o expresie puternică a NF (**Fig.45 H**), și având acumulări de nanofibre în special în spațiul perinuclear. Mai mult, în cazul celulelor cultivate pe substrat de colagen și colagen metalizat, celulele s-au orientat în aceeași direcție (**Fig.45 A,D,G**).



**Fig.45 A-I** Celule mezenchimale MSC cultivate în mediu de diferențiere neuronal. Pozele de sus: fără substrat, din mijloc substrat de collagen, iar jos substrat de collagen metalizat. (A) Control fără substrat – pentru celule cultivate timp de 18 zile în mediu de diferențiere neuronal (lumină albă 100x). (B) Imunohistochimie pentru GFAP-FITC ale Ch-MSCh cultivate fără substrat după 4 săptămâni în mediu de diferențiere neuronal (imunofluorescență, magnificarea 200x) (C) imunochimie pentru NF-FITC al celulelor mezenchimele cultivate fără substrat după 4 săptămâni de expunere în mediu de diferențiere neuronal (imunofluorescență, 200 x magnificare), (D) Imaginea în lumină albă a celulelor mezenchimele cultivate pe substrat de collagen (lumină albă, 100x) (E) Imaginile de imunofluorescență a celulelor cultivate pe substrat de collagen pentru colorația cu NF-FITC (200x magnificarea). (F) Imunocolorație pentru GFAP-FITC a celulelor Ch-MSCh cultivate pe substrat de collagen (colorație DAPI, 200x magnificarea) (G) Chorion- MSCs cultivate în mediu de diferențiere neuronal pe substrat de collagen metalizat (lumina albă, 200x). (H) Imunocolorație pentru NF-FITC a celulelor mezenchimele cultivate pe substrat de collagen metalizat – acumularea de nanoparticulele vizibil în domeniul perinuclear (imunofluorescență 44x- colorat DAPI, (I) colorație GFAP-TR pentru celulele cultivate pe substrat de MC (imunofluorescență 200, colorant DAPI)

Se pare că această combinație de nanoparticulele de aur și colagen duce la substratul cel mai favorabil care ajută celulele stem spre o diferențiere avansată. Există unele studii *in vitro* privind diferențierea celulară neuronală, migrarea neuronală și expansiunea acestora în prezența de componente ale matricei extracelulare cum ar fi: colagen, fibronectina, laminina<sup>218-220</sup>.

Un alt scop al acestui studiu a fost de a investiga potențialul celulelor mezenchimale stem de a se diferenția în cardiomiocite folosind substratele: colagen, colagen metalizat și control, fără substrat. Pentru a induce diferențierea celulelor au fost cultivate în mediu standard de celule stem pentru 4 săptămâni și tratate cu 5-azacitidina (10 μM) timp de 24h (un ciclu de expunere pe săptămână). Diferențierea a fost demonstrată folosind imunocitochimia (**Fig.46 A-F**) cu markerii de expresie cardiaci specifici și anume: proteină NKx, hormonul cardiac ANP (atrial natriuretic peptide), precum și actina F pentru rearanjarea filamentelor actinice (actina F). Celulele mezenchimale au adoptat o morfologie poligonală, morfologie tubică, după cum a raportat și Martin Rendon<sup>221</sup>. Această structură poate fi explicată prin asamblarea și remodelarea miofibrilor când celulele sunt expuse la actina, celule care sunt stresate de activitatea acesteia și iau o structură poligonală. Aspectele morfologice pot fi observate în **Fig.46D,E**.

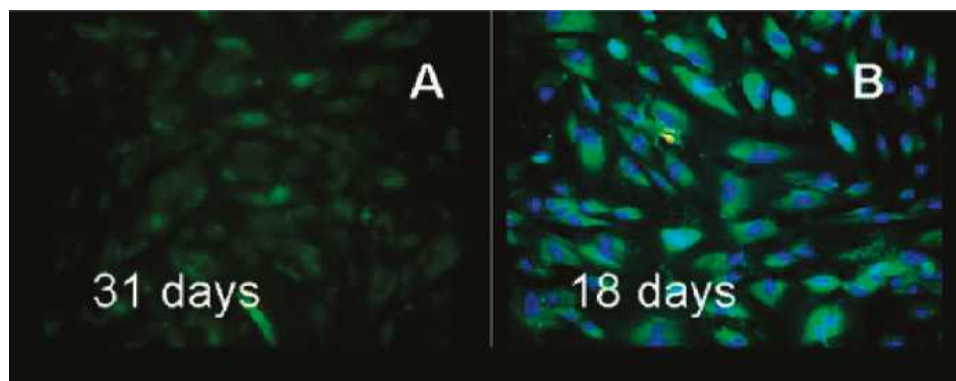


**Fig.46 A-F** Celule mezenchimele derivate din placenta cultivate în mediu de diferențiere miocardic. (A) Colorații pentru cardiomiocite folosind marcarii ANP-FITC+actin F+DAPI a controlului fără substrat, 31 zile (imunofluorescență, 200X), (B) Colorații

ANP-FITC și TRITC pentru control cultivare fără substrat (imunofluorescență, 200x), (C) Expresia Nkx 2.5 FITC a celulelor cultivate fără substrat (imunofluorescență, 100x), (D) Colorație ANP-FITC și TRITC pentru celulele cultivate pe substrat de colagen metalizat (imunofluorescență, 400x), (E) Colorație ANP-FITC și TRITC pentru celulele cultivate pe substrat de colagen metalizat (imunofluorescență, 400x), (F) Expresia Nkx 2.5 FITC a celulelor cultivate pe substrat de colagen timp de 4 săptămâni (imunofluorescență, 100x),

Analiza imunocitochimiei arată că celulele sunt pozitive pentru Nkx 2.5 chiar și în absența substratului (*Fig.46 C*). Morfologiile de fibră a celulelor cultivate fără substrat a fost observat după expunerea la actina F (*Fig.46 B, C*). Cultivarea celulelor MSC în prezența de substrat metalizat arată localizării intracelulare a Nkx 2.5 (*Fig.46F*).

Diferențierea spre miocard activat pe substrat de colagen –aur a fost extrem de pozitiv pentru expresia ANP chiar și la numai 3 săptămâni de la cultivare, în comparație cu controlul (*Fig.47A,B*).

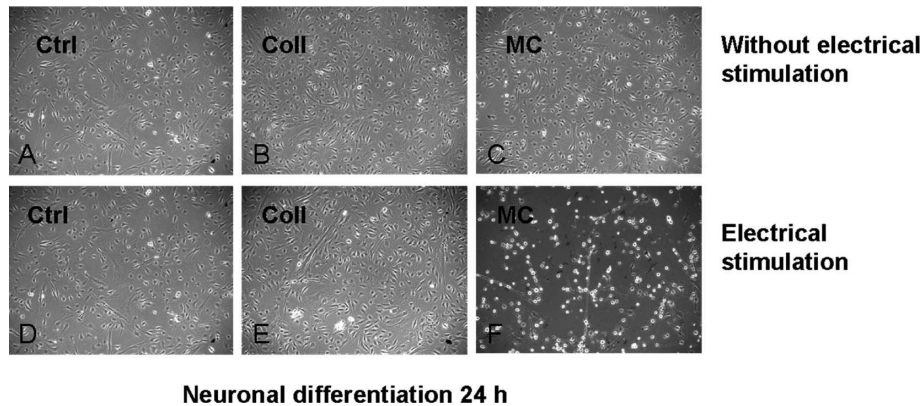


**Fig.47A,B** Diferențierea spre miocard pe substrat de colagen–aur pozitiv pentru expresia ANP chiar și la numai 3 săptămâni de la cultivare (**B**) în comparație cu controlul 31 (**A**)

Efectul 5-azacitidinei în diferențierea celulară poate să nu fie specific deoarece aceasta are capacitatea de a induce diferite schimbări în fenotip prin activarea unui număr mare de gene. Mai mult, tratamentul cu azacitidină nu este suficient pentru a reprograma celulele MSC pentru a diferenția în cantitatea de cardiomiocite necesar pentru regenerarea miocardică. Descoperirea unei alte strategii care conferă atât o stimulare mecanică cât și una pe cale biochimică sau electrică este necesar pentru a obține un

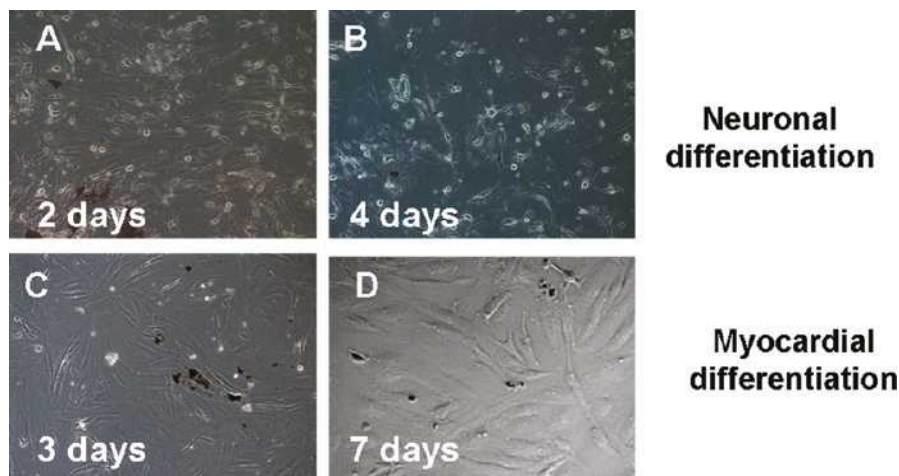
fenotip matur diferențiat. Substratul de collagen metalizat îndeplinește toate dintre aceste condiții.

Celulele mezenchimale au fost expuse stimulării electrice cu un stimulator folosit în clinică, celulele au fost concomitent supuse tratamentului de diferențiere în celule neuronale și cardiomiocite, în mediu de diferențiere necesar. Stimularea electrică accelerează diferențierea înspre neuronal încă din prima zi de stimulare, **Fig.48A-F**.



**Fig.48A-F.** Imagini în lumină albă pentru diferențierea neuronală după 24 h de tratament a celulelor MSC expuse mediului de diferențiere neuronal fără electrostimulare (**A, B, C**): (**A**)- control fără substrat, (**B**) pe substrat de collagen, (**C**) pe substrat de collagen metalizat, în timp ce fără stimulare electrică (**D, E, F**): (**D**) fără substrat (**E**) pe substrat de collagen, (**F**) pe substrat de collagen metalizat.

De asemenea din **Fig.49A-D** se observă că celulele au o orientare identică după 2 zile de tratament. Celulele MSC își schimbă rapid morfologia și exprimă genele specifice celulelor cardiace (troponin, Nkx 2.5, și GATA-4) atunci când acestea au fost analizate cu PCR-ul. Morfologia specifică celulelor diferențiate înspre neuronal respectiv cardiac este prezentată în **Fig.49A-D**.



**Fig.49A-D** Imagini de microscopie optic preluate în lumină albă a celulelor cultivate pe substrat de colagen metalizat fiind expuse la stimulare electric în mediu de diferențiere spre neuronal: (**A, B**) MSc după 2 zile și (**B**) după 4 zile de stimulare electric (magnificarea 100x); (**C, D**) celule MSC după 3 zile (**C**), respectiv 7 zile de expunere (**D**).

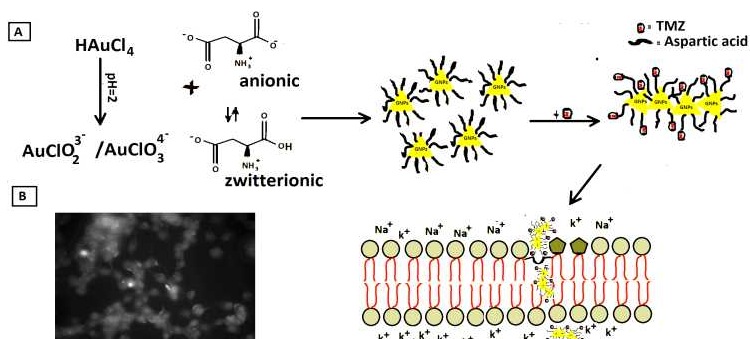
#### **I.4.1 Funcționalizarea nanoparticulelor de aur cu temozolomide**

Temozolomide este un agent de alchilare folosit în tratamentul cancerului de glioblastom și melanoame. Medicamentul are proprietate de a alchila ADN-ul, cel mai adesea la pozițiile N-7 sau O-6 a guaninei. Această alchilare a ADN-ului duce la apoptoza celulelor canceroase. Prin funcționalizarea acestui medicament cu nanoparticulele de aur dorește să îmbunătățească eficiența medicamentului în gradul III și IV al tumorii. Am arătat în **I.4.4 c**, compusul rezultat în urma funcționalizării este internalizat în concentrații mai mari de către celulele canceroase în comparație cu cele normale datorită neovascularității tumorale. Această proprietate a nanostructurii aur-medicament conferindu-i proprietăți terapeutice superioare.

*Mod de lucru:* Nanoparticulele de aur de aur funcționalizate cu acid aspartic (**cap I.1.2.2**) au fost supuse unei reacții de cuplare cu medicamentul. Peste 10 ml soluție de nanostructuri triunghiulare, aur-acid aspartic, sintetizate după metoda descrisă la **cap I.1.2.2**, s-a adăugat sub agitare intensă pe baie de gheață, 200 μl TMZ (50 μl/ml). S-a continuat agitarea timp de 1 oră, după care s-a trecut la purificare prin centrifugări (15000 rpm timp de 1 oră) și spălări succesive cu PBS. După purificare compusul rezultat a fost

redispersat în PBS la concentrația de 5 μg/ml.

Mecanismul de funcționalizare propus este reprezentat schematic în Figura 56.

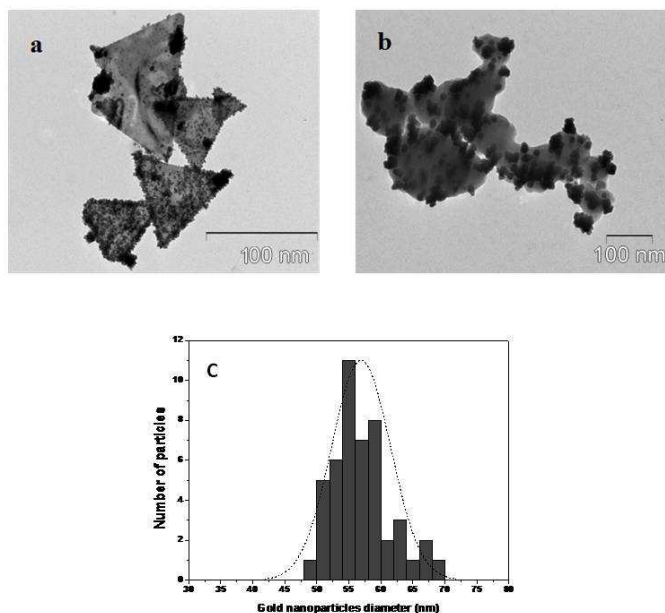


**Fig.56.A,B-** Funcționalizarea nanostructurilor de aur cu temozolomide. Formarea nanostructurii GNP<sub>s</sub>-L-Asp-TMZ (A), Internalizarea acestora în celulele stem glioblastomice (B).

Natura legăturii medicament - L-Aspartic-GNPs este un element important cu un impact semnificativ asupra stabilității sistemului. În prima etapă s-a sintetizat nanostructura de aur, L-Aspartic-GNPs, reducerea HAuCl<sub>4</sub> efectuându-se în mediu acid, pH=2, în prezența moleculelor de L-Aspartat. Acidul cloroauric în mediu acid formează complexii: AuCl<sub>2</sub>O<sub>2</sub><sup>-3</sup> și AuClO<sub>3</sub><sup>4-</sup> care se adsorb pe suprafața moleculelor de aspartat, reducându-se la Au(0). Nanoparticulele de aur formate sunt în continuare stabilizate printr-o legătură chimică covalentă care se realizează între gruparea NH<sub>2</sub> a aminoacidului și acestea. În etapa următoare se efectuează cuplarea nanostructurii aur-acid aspartic cu medicamentul (TMZ). Cuplarea medicamentului cu acidul aspartic se realizează prin legături electrostatice, cel mai probabil între grupurile COOH ale aminoacidului și NH<sub>2</sub> ale medicamentului.

Structurile nou create ale medicamentului cu nanostructura de aur au fost caracterizate prin tehnici ce au presupus următorii: microscopie electronică de transmisie (TEM), spectroscopia FTIR și XPS. Rezultatele analizei TEM alături de histograma de distribuție a mărимii particulelor este prezentat în **Fig.57a-c**.

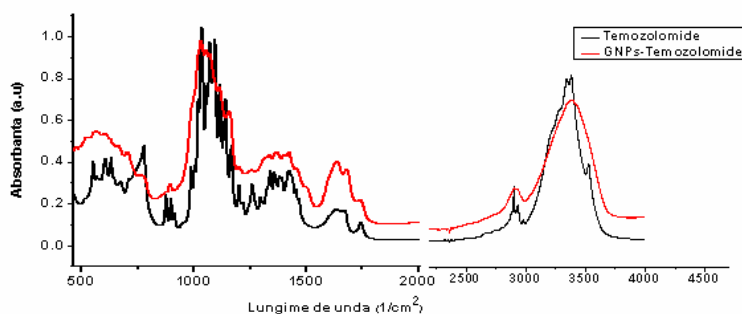




**Fig.57.a, b, c.** Imaginile TEM ale (a) Nanostructurii GNPs-L-Aspartat (b) Nanostructura func ionalizat cu temozolomide, a sistemului GNPs-L-Aspartate-TMZ (c) Histograma distribu iei nanoparticulelor de aur.

Imaginile TEM confirma func ionalizarea nanostructurilor de aur cu temozolomide, un strat sub ire de medicament acoperind suprafa a lan urilor de nanostructuri, cu diametru mediu de 55 nm i lungime medie de sute de  $\mu\text{m}$  (**Fig.57.a, b**). De precizat faptul c nanostructurile astfel func ionalizate au o stabilitate m rit , nu apare nici un semn de agregare chiar i dup un an de la preparare.

Func ionalizarea cu temozolomide a nanostructurilor de aur este confirmat i de spectroscopia FTIR, spectrul ob inut este reprezentat n **Fig.58**



**Fig.58** Spectrul FTIR al medicamentului pur (**negru**) n compara ie cu cel al

### *nanostructurii cuplate (GNPs-Temozolomide),(rosu)*

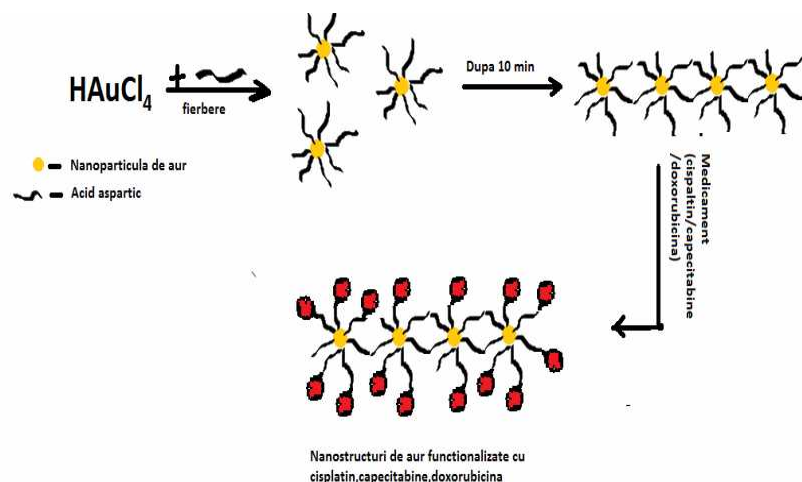
Spectrul FTIR al medicamentului pur, temozolomide, prezintă trei benzi la 3339, 3381 și 3526  $\text{cm}^{-1}$  date de vibrațiile grupurilor  $\text{NH}_2$  și  $\text{OH}$ , în timp ce alte două benzi în jur de 2935  $\text{cm}^{-1}$  și 2899  $\text{cm}^{-1}$  sunt date de vibrațiile grupurilor alifatic metilenice. După funcționalizare cu nanostructura de aur în această regiune apar doar două benzi: la 3389  $\text{cm}^{-1}$  dată de vibrațiile grupei  $\text{NH}_3^+$  și 2934  $\text{cm}^{-1}$  pentru vibrațiile  $\text{C-H}$  și  $\text{CH}_3$ . Această schimbare se datorează interacțiunilor electrostatice între aceste grupuri cu nanostructura de aur.

La 1746  $\text{cm}^{-1}$  apare banda caracteristică inelului cetonic care este similară cu cea a medicamentului pur. Amida I este indirect influențată de gruparea aminică,  $\text{NH}_2$ -nanostructura având un pic poziționat la 1682  $\text{cm}^{-1}$ , în timp ce picul MTZ-ului pur apare la 1672  $\text{cm}^{-1}$ .

#### **I.4.2. Funcționalizarea nanoparticulelor de aur cu cisplatin, doxorubicina și capecitabine**

Cisplatinul, doxorubicina și capecitabinele sunt la ora actuală cele mai folosite medicamente anticancer. Administrarea directă a acestor antitumorale micșorează capacitatea de internalizare în tumoare, biodistribându-se în toate celulele ceea ce are ca rezultat un efect terapeutic diminuat și o amplificare a efectelor secundare<sup>228</sup>.

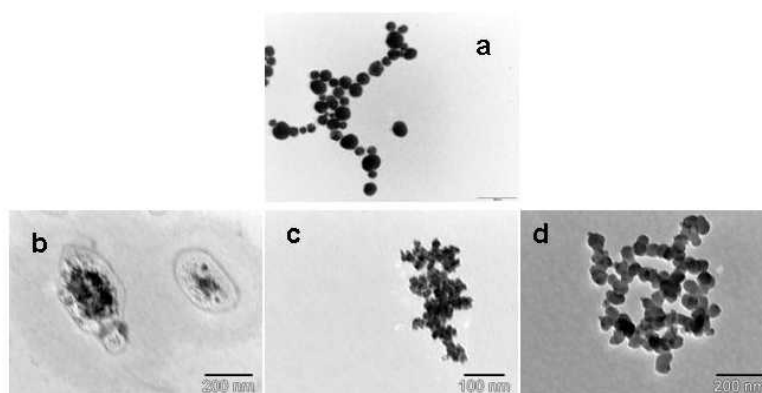
Mecanismul reacțiilor de cuplare a nanostructurilor de aur, este același ca și în cazul funcționalizării cu temozolomide, cu deosebirea că în acest caz nanoparticulele au formă sferică. (**Fig.61**)



**Fig.61:** Func ionalizarea nanoparticulelor de aur stabilizate cu acid aspartic cu cisplatin, capecitabine i doxorubicina

Caracterizarea fizico-chimic si morfologica a produ ilor rezulta i s-a efectuat prin microscopia electronic de transmisie, spectroscopia FTIR.

Imaginile TEM sunt prezentate in **Fig.62a-d**, si eviden iaz ata area de medicament pe suprafa a nanoparticulelor stabilizate, pelicula de medicament acoper în întregime nanoparticula.

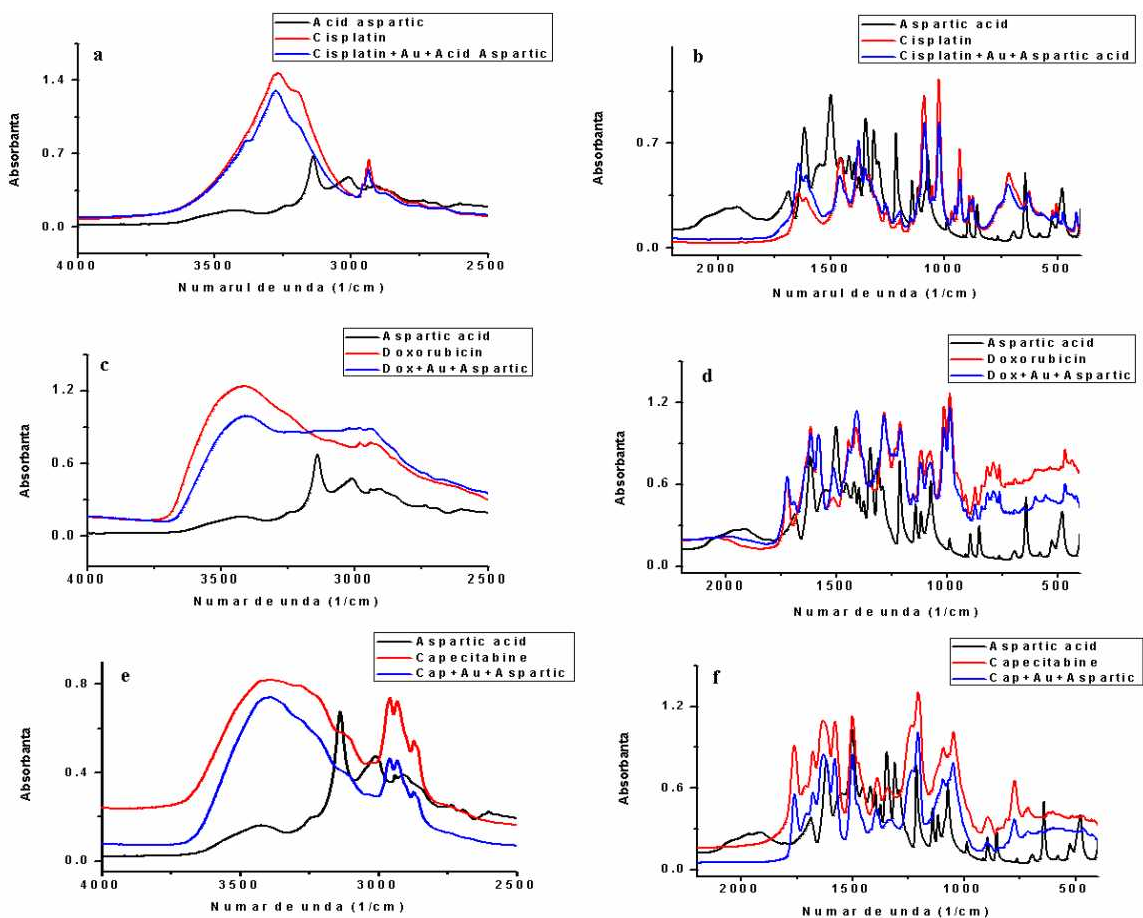


**Fig.62a-d:** Imaginile TEM ale nanoparticulelor func ionalizate cu nanoparticule stabilizate cu acid aspartic (a), cisplatin (b), capecitabine(c), doxorubicina (d).

Interac iunea dintre medicament i nanostructura de aur-acid aspartic este dependenta de natura medicamentului precum i de grup rile func ionale ale acestuia.

A a dup cum rezult din imaginile TEM, nanoparticulele se rearanjeaz i i modifica dimensiunile, r mând ins tot în domeniul nanometrilor.

Grup rile prin intermediul c rora s-a realizat functionalizarea au fost investigate prin analiza de spectroscopie FTIR, rezultatele fiind prezentate în **Fig.63a-c**.



**Fig.63a,b,c,d** Spectrul FTIR al medicamentului pur (**negru rosu**) în compara ie cu cel al nanostructurii cuplate (GNPs-cisplatin), (**albastru**). Spectrul de culoare **neagra** fiind spectrul ligandului de la suprafata nanoparticulelor de aur .Sus-cisplatin, mijloc-doxorubicina, jos-capecitabine

În cazul funcționalizării nanoparticulelor de aur cu doxorubicina, **Fig.63c,d** remarcăm faptul că toate picurile și-au schimbat poziția cu excepția benzii date de gruparea fenil. Banda largă din intervalul  $3200\text{--}3700\text{ cm}^{-1}$  este caracteristică grupurilor N-H, -OH atașate pe suprafața nanostructurii de aur. Banda corespunzătoare vibrațiilor C-H se deplasează spre valori mai mici, de la  $2980\text{ cm}^{-1}$  la  $2978\text{ cm}^{-1}$ . De asemenea apar și legăturilor de hidrogen între grupurile N-H, C=O, C-H<sub>2</sub>, O-H din molecula de doxorubicină și nanostructura de aur determină schimbarea frecvenței de la  $1722\text{ cm}^{-1}$  la  $1721\text{ cm}^{-1}$ . Banda de la  $1580\text{ cm}^{-1}$  specifică inelului aromatic apare în spectru nemodificată. Vibrațiile grupurilor carboxilice din doxorubicină sunt vizibile în regiunea  $1400\text{--}1445\text{ cm}^{-1}$  împreună cu întinderea grupurilor C-O-C asimetriche. O altă schimbare de poziție, de la  $1076$  la  $1073\text{ cm}^{-1}$  este atribuită grupurilor alifatiche CH<sub>x</sub> din structura doxorubicinei.

Spectrele funcționalizării nanoparticulelor cu cisplatin respectiv capecitabine sunt prezentate în **Fig.63a,b,e,f**. După funcționalizare benzile corespunzătoare cisplatinului apar deplasate dar menținându-și forma inițială (**Fig.63a,b**). Vibrațiile simetrice și asimetriche grupurilor N-H<sub>x</sub> sunt suprapuse și apar în intervalul  $3388\text{ cm}^{-1}\text{--}3186\text{ cm}^{-1}$ . Deformațiile simetrice datorită mișcării vibrației de rotație, atât în plan cât și în afara planului, apar între  $1642\text{ cm}^{-1}\text{--}715\text{ cm}^{-1}$ . Regiunea  $628\text{--}415\text{ cm}^{-1}$  corespunde vibrațiilor simetrice și asimetriche a legăturii -N-Pt.

În **Fig.63e,f** sunt prezentate spectrele caracteristice funcționalizării cu capecitabine. Un pic extins apare la  $3385\text{ cm}^{-1}$  datorită grupurilor O-H/N-H atribuite aurului. Banda la  $1678\text{ cm}^{-1}$  apare datorită grupurilor carbonil pirimidinice, în timp ce vibrațiile corespunzătoare carbonil din uratan apar la  $1757\text{ cm}^{-1}$ . Benzile caracteristice legăturii C-F precum și cele datorate de prezența inelului tetrahidrofuran apar la  $1045$  și  $1205\text{ cm}^{-1}$ .

#### **1.4.3 Aplicații ale nanoparticulelor de aur funcționalizate cu cisplatin, capecitabine și doxorubicina în terapia cancerului hepatic**

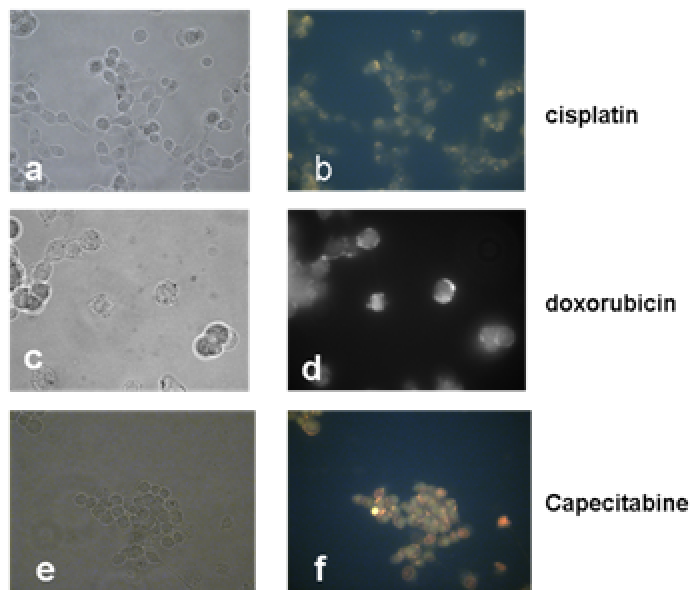
Hepatocarcinomul (cancerul de ficat), reprezintă în prezent una din cele mai răspândite tumori care provoacă pe plan mondial 500000 de decese<sup>229-230</sup>. În ultimul timp s-a încercat tratamentul acestuia prin utilizarea ca vectori transportori a diferitelor nanomateriale precum: polimeri, dendrimeri, lipozomi nanotuburi de carbon, și alte

nanomateriale la scara nano<sup>235</sup>.

## Rezultate i discu ii

### Internalizarea nanostructurilor de aur-medicamente.

Gradul de absorbie a medicamentului în celule influen eaz efectele terapeutice ale acestuia. Confirmarea capacit ii de adsorb iei a nanostructurilor func ionalizate cu citostatice este foarte important pentru a eviden ia rolul nanoparticulelor. Celulele incubate cu diferite combina ii de medicamente au fost internalizate i analizate prin microscopie optic (microscopie în lumin alb , fluorescen a la 488 nm) i electronic (TEM). Imaginile de microscopie optic au fost luate cu ajutorul unui microscop Zeiss Axiovert. Achizi ie de imagine a fost efectuat cu o camer AxioCam MRC. Rezultatele sunt prezentate în *Fig.64a,f*.

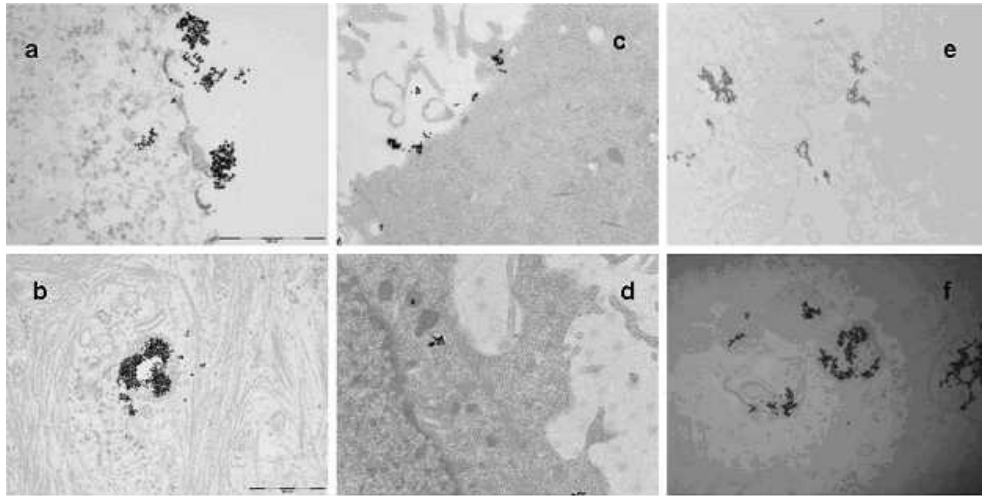


*.Fig.64a,f* Internalizarea nanostructurilor de aur func ionalizate cu citostatice în celulele stem canceroase (CSC): cisplatin (a)-imagine în lumin alb , (b) -imagini în lumina fluorescen a doxorubicina (c) -imagine în lumin alb , (d)- imagine în lumina fluorescen a, capecitabine (e) -imagine în lumin alb , (f)- imagine în lumina fluorescen a. Magnitudine 1000x.

Imaginile de microscopie optic atât în lumin alb cât i în fluorescen a arata clar c

nanoparticulele de aur sunt distribuite individual în interiorul celulelor. Datorită proprietăților optice ale aurului acesta emite la 563-410.<sup>237</sup> În cazul de față emisia maximă a apărut la 488 nm datorită dimensiunii nanoparticulelor dar și datorită funcționalizării lor.

Mai mult microscopia electronică confirmă și ea internalizarea, **Fig.65a-f**.



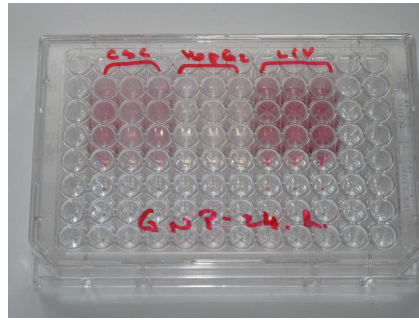
**Fig.65a-f** Imagini TEM ale nanostructurilor de aur funcționalizate internalizate în celule CSC: (a, b) cisplatin, (c, d) capecitabine, (e, f) doxorubicina

Nanostructurile funcționalizate se internalizează în celule prin intermediul endocitozei. Inițial acestea se atașează pe membrana celulară și apoi se internalizează cu ajutorul endozomilor. Cantitatea de nanoparticule internalizate crește cu creșterea timpului de incubare.

#### **Testul de citotoxicitate MTT**

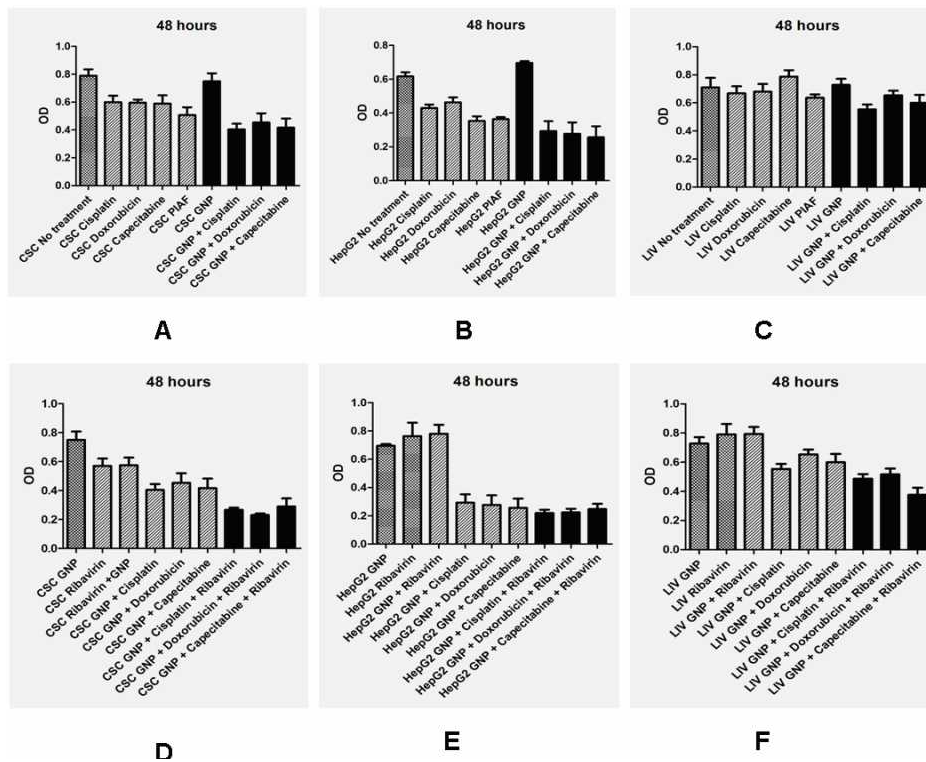
Concentrațiile medicamentelor funcționalizate testate au fost folosite după protocolul PIAF: Doxorubicina a fost adăugată în concentrație de 0,5 μg/ml, cisplatinul 0,25 μg/ml, capecitabine 30 μg/ml și ribavirin 5 μg/ml. În ambele probe (medicament pur, medicament funcționalizat cu aur) s-a adăugat ribavirina a cărei concentrație a fost 2 μg/ml (Protocolul PIAF folosit în Institutul Oncologic "Ion Chiricu", Cluj Napoca).

**Fig.66** prezintă diferențe de intensitate a culorii MTT între liniile CSC, LIV și HepG2 celule, când acestea au fost tratate cu medicament pur și respectiv funcționalizat cu nanostructuri de aur.



**Fig.66** - Diferen a între intensitatea culorilor la diferite linii de celule: CSC, LIV i Hep G2, atunci când acestea au fost tratate cu medicamente func ionalizate.

Este evident diferen a de intensitate a culorii celulelor canceroase HepG2 i cele CSC (stemuri canceroase), medicamentul func ionalizat este mai eficient, culoarea are intensitate mai sc zut decât în cazul culorii celulelor normale Liv. Aceste diferen e vizibile macroscopic au fost confirmate i de valorile testului MTT(**Fig.67A-F**).



**Fig.67 A-F** Rezultatele testului MTT dup 48 h de tratament cu medicament



func ionalizat i control (medicament pur) pe liniile de celule canceroase HepG2, CSC, Liv.

Din graficele din **Fig.67 A-F** rezult c celulele stem,CSC, în compara ie cu celulele HepG2, sunt rezistente la medicamentele pure, dar atunci când se adaug nanostructurile de aur func ionalizate cu medicament, rezultatele arat o supravie uire redus a celulelor tumorale, atât HepG2 cât mai ales CSC. De asemenea se constat c celulele normale hepatice sunt afectate foarte pu in.

**Analiza celulelor apoptice i necrotice prin Citometria de flux**  
 Testele de apoptoz s-au realizat cu ajutorul unui chit specific. Acest test are la baz o reac ie de culoare cu ajutorul annexin V- FITC (florescen a) i PI (ro u). Testul s-a efectuat pe celule normale LIV i canceroase stem CSC cu un aparat flowcitometru, dup ce acestea au fost expuse timp de 24 h la tratamentul cu o combina ie de nanostructuri func ionalizate precum i medicament pur (conform protocolului PIAF). Apoptoza celulelor a fost mare chiar i în control, cel mai probabil datorit tripsinizarii i timpului scurs de la preg tirea probelor pân în momentul analizei, de i au fost men inute pe baie de ghea .

În cazul tratamentului cu medicament func ionalizat procentul de celule apoptotice totale (celule apoptotice tinere care dau r spuns pozitiv numai pentru annexin V + celule apoptotice târzii au r spuns pozitiv atât pentru annexin V cât i PI) arat un indice de moarte celular mult mai mare atât pentru pentru toate liniile de celule (cât i pentru control -40,1%) în compara ie cu medicamentul nefunc ionalizat.

Procentul de celule moarte apoptotice este prezentat în **Tab.8**.

**Tab.8:** Procentul de celule moarte apoptotice folosind protocolul PIAF pentru medicamentul pur,func ionalizat i control

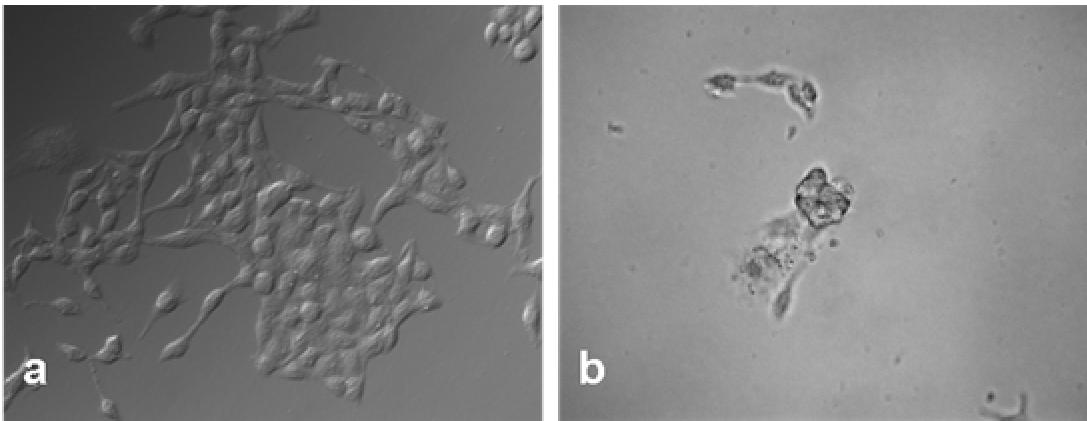
Probe	Celule apoptotice tinere (%)	Celule apoptotice târzii (%)	Total cellule moarte
LIV control	4.1	36.0	40.1
LIV tratate cu GNP-PIAF	1	60.3	61.3
LIV tratate cu PIAF	3.7	41.2	44.9
CSC control	9.7	6.2	15.9
CSC tratate cu GNP-PIAF	8	27.9	35.9
CSCtratate cu PIAF	0	26.1	26.1

#### **I.4.4 Aplicații ale nanoparticulelor de aur funcționalizate cu temodal în terapia cancerului de glioblastom**

##### **Testul de citotoxicitate MTT**

Nanostructurile de aur utilizate în acest experiment s-a făcut după metoda de reducere și funcționalizare cu acid aspartic descris în capitolul în **I.4.1**.

Am investigat interacțiunea și comportamentul de celule stem canceroase gliale atunci când acestea sunt în contact cu sistemul, GNP-L-Aspartat-TMZ. Internalizarea GNP-L-Aspartat-TMZ a fost monitorizată după 24 ore de la tratament folosind un microscop optic Zeiss. Rezultatele sunt prezentate în **Fig.69b**. Analizând rezultatele obținute am constatat că medicamentul intră în celulele încă după prima ora de tratament. După 24 h de tratament celulele au fost afectate, schimbările drastice ale morfologiei sugerează că acestea se află într-o etapă de pre-apoptoză cu o acumulare de nanoparticule în spațiul perinuclear.



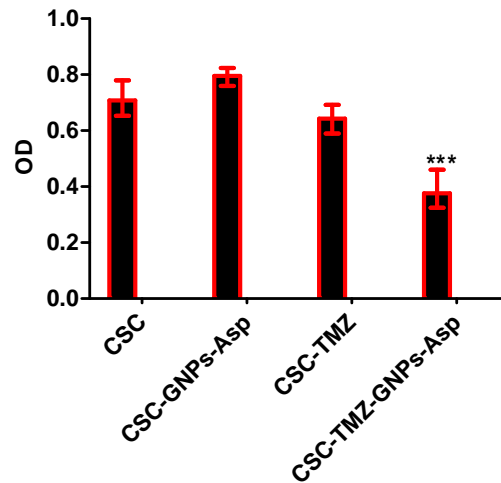
**Fig.69a,b** Internalizarea GNP-L-aspartat-TMZ după 24 ore (a) Celule Stem maligne, control, (microscopie în lumină albă, contrast de fază PlasDIC, mărirea 400x), (b) Internalizarea gnp-L-aspartat-TMZ după 24 ore, (PlasDIC contrast de fază, mărirea 400x)

##### *Mod de lucru:*

Cultura de celule precum, testul de citotoxicitate s-a făcut după o procedură similară descrisă în **I.4.3** pe celulele hepatice (capitol de la aplicații hepatice).

Celulele stem gliale inițial prezentau rezistență la chimioterapie cu medicament nefuncționalizat, dar atunci când i s-a adăugat nanostructura GNPs-Aspartat-TMZ

rezultatele arată o supraviețuire redusă a acestora. Rezultatele au fost analizate statistic cu ajutorul programului Graph Prism 5, semnificația statistică a activității medicamentului funcționalizat este de 0.5345 în raport cu cel nefuncționalizat 0.09214 (95% CI,  $P < 0.05$ ). Rezultatele testului de citotoxicitate sunt prezentate în **Fig.69**.



**Fig.69** Rezultatele testului MTT după 48 h de tratament cu medicament funcționalizat (TMZ-GNPs-Asp) și control (medicament pur- TMZ) pe liniile de celule canceroase stem gliale.

Datorită populației mici de celule stem gliale maligne, glioblastomul are un răspuns negativ la diferitele tratamente convenționale. Eficiența tratamentului cu nanostructura funcționalizată cu TMZ este cu aproximativ 50% mai mare decât cu temozolomida pură. Rezultatele obținute relevă că este posibilă elaborarea unei noi metodologii de tratament pentru pacienții diagnosticați cu cancer de gliom.

## ***II. Distrugerea controlată a structurilor subcelulare în terapia cancerului***

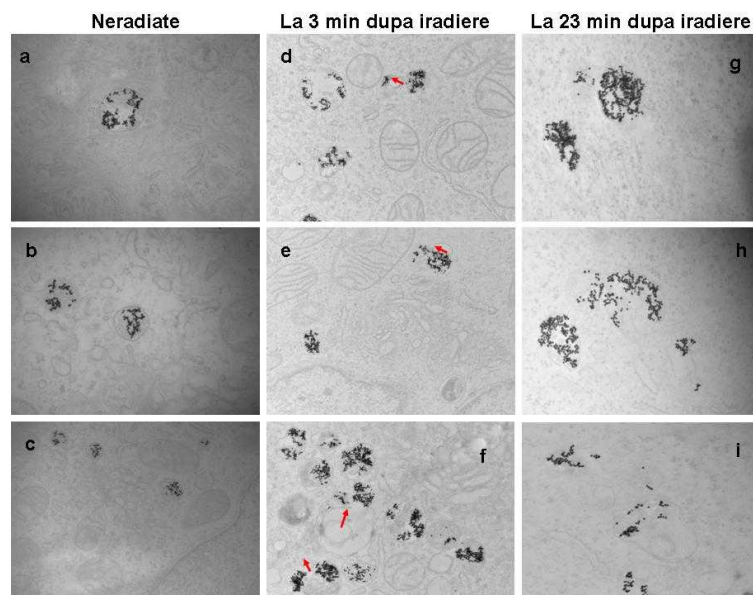
Iradierea cu laser de puteri mici a celulelor canceroase care conțin nanoparticule de aur în endosomi, determină rupturi ale acestora și migrarea nanoparticulelor în citoplasmă.

Fenomenul de distrugere a celulelor canceroase poate fi controlat simultan prin mai mulți factori: puterea laserului, timpul de expunere la iradiere, diametrul particulelor și concentrația lor. Dintre acești factori, în cadrul studiului interprins, parametrii studiați s-

au redus la: puterea laserului, timpul de expunere la laser, concentrația nanoparticulelor de aur. Observațiile au fost făcute în urma analizelor TEM și de microscopie optică, iar viabilitatea celulelor am testat-o cu testul de viabilitate celulară utilizând reactivul – ”trypan blue”.

Analiza TEM care demonstrează atât internalizarea nanoparticulelor cât și modul în care celulele au fost distruse și s-a efectuat la 3 min și respectiv 23 min după iradiere.

**Fig.71** prezintă imaginile TEM la 3 min – 24 min după iradiere în comparație cu celulele neiradiate.



**Fig.71:** Imagini TEM ale celulelor Hella conținând nanoparticule de aur, celule incubate timp de 9h; (a,b,c)-neiradiate, (d,e,f) la 3 min după iradiere și (g,h,i) la 23 min după iradiere.

### **II.1.1 Influența concentrației și puterii laserului asupra mortalității celulare**

Apă după cum rezultă din măsurătorile experimentale rezultate concentrația nanoparticulelor de aur internalizate în celule joacă un rol important în procesul de distrugere a celulelor canceroase. Concentrația nanoparticulelor este dependentă de timpul de incubare. În cadrul studiului interpretat am determinat concentrația nanoparticulelor după 1h, 3h, 9h, 24h de incubare.

*Modul de lucru:* După timpii de incubare indicați, celulele au fost spălate de 3 ori cu

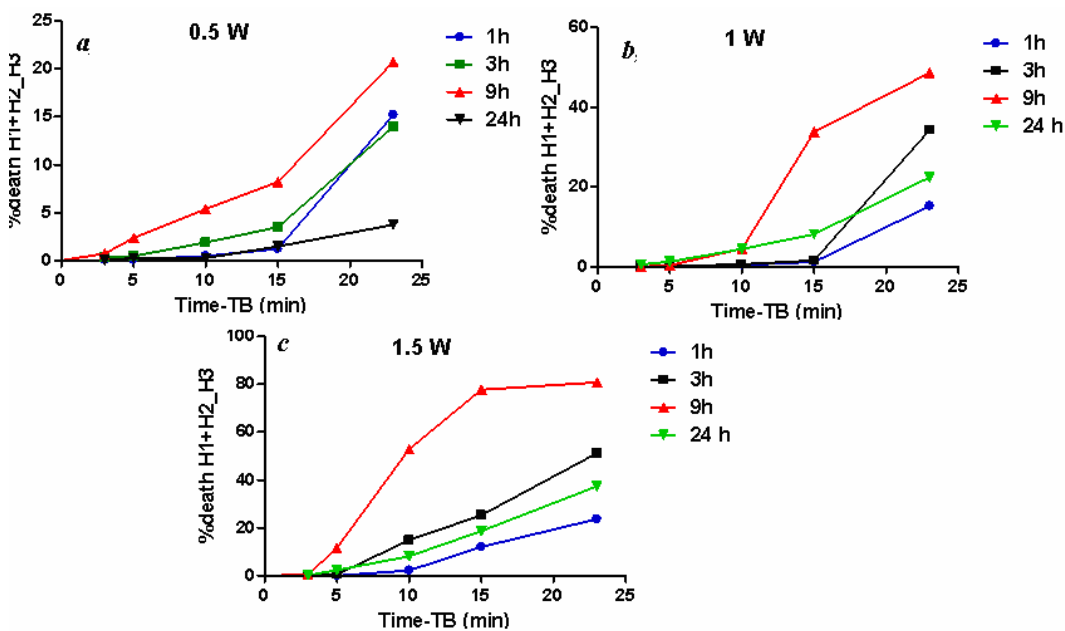
soluție de PBS pentru a îndepărta excesul de nanoparticule neinternalizate. Masa de celule rezultate a fost tratată cu apă regală pentru dizolvarea aurului apoi a fost supusă analizei elementare prin analiza ASP. Rezultatele sunt prezentate în **Tab.9**.

**Tab.9:** Concentrația nanoparticulelor de aur internalizate după diferiți timpi de incubare.

Timp de incubare	Concentrația de nanoparticule internalizate
1Hr	0.865ppm
3Hr	1.074ppm
9Hr	3.409ppm
24Hr	3.488ppm

Puterea radiației are o influență majoră atât asupra vitezei de distrugere cât și a numărului final de celule moarte. Pentru a evidenția intensitatea radiației asupra modului și gradului de distrugere a celulelor canceroase s-a lucrat la trei puteri ale laserului: 0,5w, 1 w și 1,5 w timpul de iradiere folosit în toate cazurile fiind de 2 minute.

Rezultatele obținute sunt prezentate în **Fig.74 a, b,c**.



**Fig.74 a, b,c.-** Dinamica distrugerii celulelor canceroase în funcție de puterea laserului

*i concentra ia de nanoparticule corespunz toare timpilor de incubare (a) 0,5 w la 1, 3,9,24 h (b) 1 w la 1, 3,9,24 h (c) 1,5 w la 1, 3,9,24 h*

În toate cazurile punctele din diagrame reprezintă media a trei măsurători paralele, a căror valori sunt prezentate în banca de date.

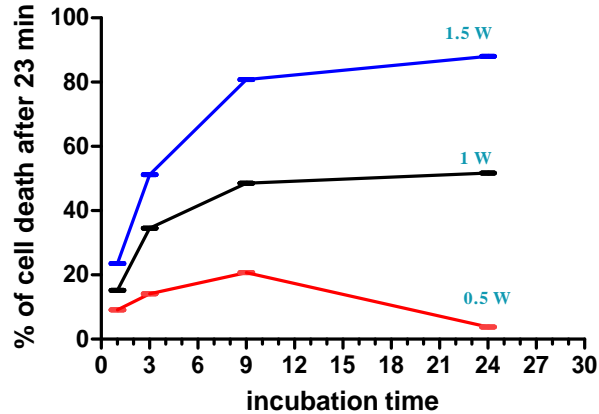
Analiza datelor din **Fig.74 a, b,c.** arată că la concentrații mici ale aurului (1h) indiferent de puterea laserului utilizat gradul de distrugere are valori foarte mici nedepășind 20% (la puterea de 1,5 w și concentrația corespunzătoare 1h de incubare). De asemenea timpul de inducție, adică timpul după care apar primele celule moarte scade de la 10 minute, corespunzătoare puterii de 0,5 w și timp de incubare 1 h, la 5 minute pentru putere de 1,5 w.

Odată cu creșterea concentrației de nanoparticule internalizate (concentrație corespunzătoare incubării de 3 h) tot la putere mică de iradiere, 0,5 w, gradul de distrugere descrește atingând valori finale de 13,96%. Această descreștere se datorează erorilor care apar la puteri mici ale laserului. Timpul de inducție scade și el de la 10 minute pentru puterea de 1w la 5 minute pentru puterea de 1,5 w. La puteri mici ale laserului saltul privind mortalitatea nu se modifică semnificativ la concentrații corespunzătoare timpilor de inducție de 9 respectiv 24h. Anomaliile rezultate în **Fig.74 a** pot fi puse pe seama erorilor de măsurare dar mai ales pe capacitatea celulelor de apărare.

Un salt foarte mare privind gradul de distrugere se constată pentru o putere a laserului mai mare de 1 w și o concentrație a particulelor c de 1, 3 h. Pentru puterea de 1 w curbele din care rezultă gradul de mortalitate sunt foarte apropiate la 9 și la 24 h, practic au aceeași pantă, ceea ce arată distrugerea acestora după aceeași mecanism. La puterea de 1,5 w practic cele două curbe corespunzătoare 9-24h se suprapun după 10 minute. Pentru aceste condiții în prima porțiune curbele au o pantă ridicată ceea ce arată că reacția chimică dintre radicalii liberi și membrana celulară se desfășoară cu viteză mare.

Comparând rezultatele pentru puterile 1w respectiv 1.5 w, după 10 minute de la iradiere se constată o creștere a gradului de mortalitate astfel: pentru 1 w - concentrația de 9h- crește de la 4.53% (1w) la 48.61% în timp ce pentru 1.5 w –concentrație 9h de la 52.89%-80.82%. De asemenea pentru concentrația corespunzătoare la 24 ore de incubare sunt aproape identice, diferența fiind doar de ordinul unităților.

În *Fig.75* sunt prezentate rezultatele privind influența concentrației (24 h de incubare) la cele trei puteri utilizate, 0.5 w, 1w și respectiv 1,5 w.

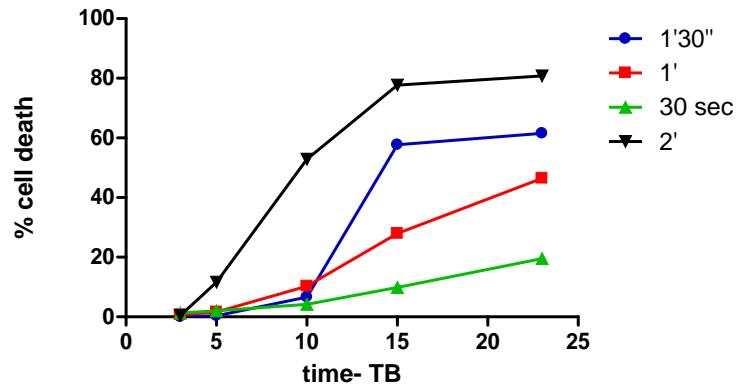


*Fig.75:* Influența concentrației asupra gradului de mortalitate

După 9h gradul de mortalitate nu se mai modifică cu concentrația, acesta crește odată cu puterea laserului. Acesta demonstrează că după 9h se atinge echilibru de internalizare.

### II.1.2 Influența timpului de expunere la iradiere

Am văzut în subcapitolul anterior că intensitatea radiației joacă un rol hotărâtor în dinamica mortalității celulelor canceroase. Odată cu creșterea puterii radiației practic crește energia electronilor de pe nivelul Fermi, se creează astfel condițiile ca un număr mare de electroni să participe la reacție de formare a radicalilor liberi, astfel că se formează un număr mai mare de astfel de radicali. Energia transmisă electronilor fiind dependentă și de timpul de expunere la radiație, ea crește cu timpul de expunere. Rezultatele privind influența timpului de radiație asupra gradului de mortalitate a celulelor sunt prezentate în *Fig.76*, rezultatele fiind media a trei măsurători realizate în paralel. Detalii privind dinamica mortalității sunt prezentate în suportul de informații.



**Fig.76:** Influenta timpului de iradiere asupra dinamicii mortalit ii pentru puterea de 1,5 w i concentra ie corespunz toare incub rii de 9h

Dup primele 3 minute rezultatele sunt neconcludente, ca urmare a sistemului de autoap rare a celulelor, totu i se poate afirma c timpul de induc ie, timpul dup care apar primele celule moarte este de 3 min. Pentru timpi de expunere de pân la 1 min 30 sec rezultate relevante privind moartea celular dup 10 minute. Cre terea este aproape liniara pentru timpi mici de radiere, 30 sec i 1 min, în timp ce la timpi mari de iradiere 1.5, 2 min constata o cre tere exponen ial . La timpul de iradiere de 2 min mortalit ii semnificative se observ deja dup 5 min dela iradiere. Distrugerea se realizeaz dup o curb cu pant constant mare (vitez mare de reac ie) pân la 15 min. Dup 15 min panta curbei este aproape nul , mortalitatea modificându-se foarte pu in.



## Bibliografie

- 1) Ebbesen T, Ajayan P. Large-scale synthesis of carbon nanotubes. *Nature* 1992;358(6383):220-222.
- 2) Iijima S, Ichihashi T. Single-shell carbon nanotubes of 1-nm diameter. *Nature* 1993;363(16): 603 – 605
- 3) Bethune D, Klang C, De Vries M, Gorman G, Savoy R, Vazquez J, et al. Cobalt-catalysed growth of carbon nanotubes with single-atomic-layer walls. *Nature* 1993;363(16): 605 – 607.
- 4) Kratchmer W, Lamb L, Fostiropoulos K, Huffman D. Solid C<sub>60</sub>: a new form of carbon. *Nature* 1990;347(12):354-358.
- 5) Seraphin S. Single-walled tubes and encapsulation of nanocrystals into carbon clusters, *J. Electrochem.Soc.* 1995;142(10):290–297.
- 6) Thess A, Lee R, Nikolaev P, Dai H, Petit P, Robert J, et al. Crystalline ropes of metallic carbon nanotubes. *Science* 1996;273(5274):474-483.
- 7) Journet C, Maser W, Bernier P, Loiseau A, Lamy de La Chapelle, M., Lefrant S, et al. Large-scale production of single-walled carbon nanotubes by the electric-arc technique. *Nature* 1997;388(6644):756-757.
- 8) Kong J, Cassell AM, Dai H. Chemical vapor deposition of methane for single-walled carbon nanotubes. *Chem Phys Lett* 1998;292(4-6):567-574.
- 9) Cassell AM, Raymakers JA, Kong J, Dai H. Large scale CVD synthesis of single-walled carbon nanotubes. *J Phys Chem B* 1999;103(31):6484-6492.
- 10) Pan L, Shoji T, Nagataki A, Nakayama Y. Field emission properties of titanium carbide coated carbon nanotube arrays. *Adv Mat* 2007;9(7):584-587.
- 11) Xiao R, Cho SI, Liu R, Lee SB. Controlled electrochemical synthesis of conductive polymer nanotube structures. *J Am Chem Soc* 2007;129(14):4483-4489.
- 12) Yan Y, Zheng W, Su L, Mao L. Carbon Nanotube Based Glucose/O<sub>2</sub> Biofuel Cells. *Adv Mater* 2006;18(19):2639-2643.
- 13) S. A. Hooker, R. Geiss, R. Schilt, A. Rand Kar, "Elevated temperature QCM for nanotube quality control", *Amer. Cer. Soc*, 1997;58(1):43-58,
- 14) Suh DJ, Kwak C, Kim JH, Kwon SM, Park TJ. Removal of carbon monoxide from hydrogen-rich fuels by selective low-temperature oxidation over base metal added

platinum catalysts. *J Power Sources* 2005;142(1-2):70-74.

15) Li H, Rosario A, Davis S, Glass T, Holland T, Davis R, et al. Network formation of vinyl ester-styrene composite matrix resins. *J Adv Mater* 1997;28(4):55-62.

16) Klabunde KJ, Richards R. Nanoscale materials in chemistry. *Poly and Mater*, 2002;11(2):121-167.

17) Artemov D, Mori N, Okollie B, Bhujwalla ZM. MR molecular imaging of the Her-2/neu receptor in breast cancer cells using targeted iron oxide nanoparticles. *Mag Res Med* 2003;49(3):403-408.

18) Forbes ZG, Yellen BB, Barbee KA, Friedman G. An approach to targeted drug delivery based on uniform magnetic fields. *Magnetics, IEEE Transactions* 2003;39(5):3372-3377.

19) Cao YC, Jin R, Nam JM, Thaxton CS, Mirkin CA. Raman dye-labeled nanoparticle probes for proteins. *J Am Chem Soc* 2003;125(48):14676-14677.

20) Molday RS, Mackenzie D. Immunospecific ferromagnetic iron-dextran reagents for the labeling and magnetic separation of cells. *J Immunol Methods* 1982;52(3):353-367.

190) Thomas KG, Zajicek J, Kamat PV. Surface binding properties of tetraoctylammonium bromide-capped gold nanoparticles. *Langmuir* 2002;18(9):3722-3727.

191) Selvakannan P, Mandal S, Phadtare S, Pasricha R, Sastry M. Capping of gold nanoparticles by the amino acid lysine renders them water-dispersible. *Langmuir* 2003;19(8):3545-3549.

192) Ongaro A, Griffin F, Beecher P, Nagle L, Iacopino D, Quinn A, et al. DNA-templated assembly of conducting gold nanowires between gold electrodes on a silicon oxide substrate. *Chemistry of materials* 2005;17(8):1959-1964.

193) Graham JS, Miron Y, Grandbois M. Assembly of collagen fibril meshes using gold nanoparticles functionalized with tris(hydroxymethyl)phosphine-alanine as multivalent cross-linking agents. *J Mol Recognit*. 2011;24(3):477-82

194) Zhong Z, Patskovskyy S, Bouvrette P, Luong JHT, Gedanken A. The surface chemistry of Au colloids and their interactions with functional amino acids. *The Journal of Physical Chemistry B* 2004;108(13):4046-4052.

- 195) Zhong Z, Luo J, Ang TP, Highfield J, Lin J, Gedanken A. Controlled organization of Au colloids into linear assemblies. *The Journal of Physical Chemistry B* 2004;108(47):18119-18123.
- 196) Shao Y, Jin Y, Dong S. Synthesis of gold nanoplates by aspartate reduction of gold chloride. *Chem. Commun.* 2004(9):1104-1105.
- 197) Zhong Z, Subramanian AS, Highfield J, Carpenter K, Gedanken A. From discrete particles to spherical aggregates: a simple approach to the self-assembly of Au colloids *Chemistry* 2005;11(5):1473-1478.
- 198) Polavarapu L, Xu QH. A single-step synthesis of gold nanochains using an amino acid as a capping agent and characterization of their optical properties. *Nanotechnology* 2008;19(2):075601.
- 201) Barnes WL, Dereux A, Ebbesen TW. Surface plasmon subwavelength optics. *Nature* 2003;424(6950):824-830.
- 202) Tang Z, Kotov NA. One-Dimensional Assemblies of Nanoparticles: Preparation, Properties, and Promise. *Adv Mater* 2005;17(8):951-962.
- 203) Cohen-Karni T, Timko BP, Weiss LE, Lieber CM. Flexible electrical recording from cells using nanowire transistor arrays. *Process Nat Acad of Sci* 2009;106(18):7309.
- 204) Kiely C, Fink J, Zheng J, Brust M, Bethell D, Schiffrin D. Ordered colloidal nanoalloys. *Adv Mater* 2000;12(9):640-643.
- 205) Lin S, Li M, Dujardin E, Girard C, Mann S. One-Dimensional Plasmon Coupling by Facile Self-Assembly of Gold Nanoparticles into Branched Chain Networks. *Adv Mater* 2005;17(21):2553-2559.
- 208) Castaneda L, Valle J, Yang N, Pluskat S, Slowinska K. Collagen cross-linking with Au nanoparticles. *Biomacromolecules* 2008;9(12):3383-3388.
- 209) Mahl D, Greulich C, Meyer-Zaika W, Köller M, Epple M. Gold nanoparticles: dispersibility in biological media and cell-biological effect. *J.Mater.Chem.* 2010;20(29):6176-6181.
- 210) Harris JR, Reiber A. Influence of saline and pH on collagen type I fibrillogenesis in vitro: fibril polymorphism and colloidal gold labelling. *Micron* 2007;38(5):513-521.
- 211) Orza A, Soritau O, Olenic L, Diudea M, Florea A, Rus Ciuca D, et al. Electrically Conductive Gold-Coated Collagen Nanofibers for Placental-Derived Mesenchymal Stem

Cells Enhanced Differentiation and Proliferation. ACS Nano 2011;5(6):4490-503

229) Yang XR, Xu Y, Yu B, Zhou J, Qiu SJ, Shi GM, et al. High expression levels of putative hepatic stem/progenitor cell biomarkers related to tumour angiogenesis and poor prognosis of hepatocellular carcinoma. Gut 2010;59(7):953.

230) Parkin DM, Bray F, Ferlay J, Pisani P. Estimating the world cancer burden: Globocan 2000. International Journal of Cancer 2001;94(2):153-156.

235) Kim BY, Rutka JT, Chan WC. Nanomedicine. N Engl J Med. 2010;363(25):2434-2443

## CURRICULUM VITAE

**Nume:** Anamaria Ioana Orza

**Departamentul :** Departamentul de chimie organica

**E-mail:** ioanna\_orza@yahoo.com

**Adresa :** Arany Janos Str. no. 11 Cluj Napoca

**Data Nasterii:** September 30, 1986

**Locul Nasterii:** Sighetu-Marmatiei

**Nationalitatea:** Romana

### EDUCATIE:

#### **2008-prezent:**

**Student PhD (chimie)** –Universitatea Babes-Bolyai, Facultatea de Chimie si Inginerie Chimica

#### **Proiect Cercetare:**

Sinteza si caracterizarea nanosistemelor multifunctionale cu aur pentru aplicatii in medicina

#### **Experienta de cercetare:**

- Prepararea si functionalizarea cu biomolecule a diferitor nanostructuri metalice (nanoparticule, aur, argint, fier, si hibride ale acestora), caracterizarea acestora prin tehnici UV-VIS, FTIR, TEM (inclusiv TEM pe cellule), RMN, caracteristici I-V.
- Culturi celulare precum si tehnici de analiza ca MTT, FDA, flowcitometrie, teste de imunohistochimie si tehnici de preghetire a celulelor pentru microscopie (inrasinarea celulelor, microtomie)

#### **Conferinte**

- *Nationale*

**” Natural and Synthesized products applied in medicine ”, 25 noiembrie 2009, Cluj Napoca, Romania**

**Poster** ”Collagen supported metallic nanowires” , Anamaria Orza, Stela Pruneanu, Liliana Olenic, Adrian Florea, Mircea Diudea

**Poster:** ”Biomolecules with applications in molecular electronics”, Stela Pruneanu, Liliana Olenic, Anamaria Orza, A.Houtlon, B.R.Horracks

- *Internationale*

#### **1. RomPhyschem14, 2-4 July 2010, Bucharest, Romania**

**Poster:** ’Single-step synthesis of gold nanowires using biomolecules as capping agent/template. Applications for tissue engineering”, A. Orza, C. Tomuleasa O. Soritau, A. Florea , S. Pruneanu, L. Olenic<sup>d</sup> M. Diudea.

#### **2. 7<sup>th</sup> International Conference on Applied Mathematics (ICAM7) in Nano-ERA", 1-4 septembrie 2010, Cluj-Napoca Romania**

**Prezentare Orala** ” Highly Efficient Gold Nanoparticles Drug Delivery for *in Vivo* Therapy of malignant gliomas” Anamaria Orza, Olga Soritau, Ciprian Tomuleasca

**3. 4th European Conference for Clinical Nanomedicine, May 23-25 2011, congres center Basel, Basel Switzerland**

**Poster:** "Selectiv targeting of liver cancer via insulin growth factor based-gold nanoparticles vector", Anamaria Orza, Lucian Mocan, Ariana Stir, Rares Stiutuc, Iulia Ferencz, Florin Zaharia, Teodora Mocan, Dana Iancu, Cornel Iancu

• **Workshosp:**

**III European Workshop in Drug Synthesis, 23rd to 27th May, 2010 Siena, Italy**

**Poster si Prezentare orală,** "Synthesis Characterization and Synergetic Effect of Gold Nanoparticle-Cisplatin/ Doxorubicin/ Capecitabine Vectors on Hepatic Cancer Stem Cells ,Anamaria Orza<sup>1</sup>, Ciprian Tomuleasca<sup>2,3</sup>, Olga Sori Ńău<sup>2</sup>, Olenic Liliana<sup>4</sup>, Stela Pruneanu<sup>4</sup>, Mircea Diudea<sup>1</sup>

**Lucrari publicate:**

- 1. Morphological and electrical characteristics of amino acid-AuNP nanostructured two-dimensional ensembles,** Anamaria Orza, Olenic Liliana, Stela Pruneanu, Florina Pogacean, Alexandru Biris, *Chemical Physics*, 2010;373(3):295-299
- 2. Conductive Collagen-based Gold Nanoparticles for Placental-derived Mesenchymal Stem Cells Differentiation,** Anamaria Orza, Olga Soritau, Liliana Olenic, Mircea Diudea, Adrian Florea, Dan Rus Ciuca, Carmen Miha, Daniel Casciano, Alexandru S. Biris, *ASC Nano*, 2011;5(6):4490-503
- 3. Enhanced LASER thermal ablation for *in vitro* liver cancer destruction by specific delivery of multi wall carbon nanotubes functionalized with human serum albumin,** Cornel Iancu ,Constantin Bele, Cornel Catoi, Anamaria Orza, Flaviu A. Tabaran Rares Stiufiuc, Ariana Stir, Cristian Matea, Dana Iancu<sup>1</sup>, Florin Zaharie, Teodora Mocan, Lucian Mocan, *International Journal of Nanomedicine*, 2011 6: 129–141
- 4. Selective ex-vivo photothermal ablation of human pancreatic cancer with albumin functionalized multiwalled carbon nanotubes,** Lucian Mocan, Flaviu A Tabaran, Teodora Mocan, Constantin Bele, Anamaria Ioana Orza, Ciprian Lucan, Rares Stiufiuc, Ioana Manaila, Ferencz Iulia, Iancu Dana, Florin Zaharie, Gelu Osian, Liviu Vlad, Cornel Iancu, *International Journal of Nanomedicine* 2011:6 915–928
- 5. Effect of gold nanoparticles conjugated with various anti-cancer drugs on lowering the chemoresistence of hepatic cancer stem-like cells,** Anamaria Orza<sup>1</sup>, Ciprian Tomuleasa<sup>2</sup>, Olga Soritau<sup>2</sup>, Olenic Liliana<sup>3</sup>, Ioan Bratu<sup>3</sup>, Mircea Diudea,<sup>1</sup> Sergiu Susman<sup>2</sup>, Eموke Pall<sup>5</sup>, Daniel Casciano<sup>6</sup>, Alexandru S. Biris<sup>6</sup> *-in pending ACS Nano*
- 6. Temozolomide-loaded gold nanoparticles as an alternative chemotherapy option for inoperable recurrent malignant gliomas-** Anamaria Orza , Ciprian

Tomuleasa, Liliana Olenic, Olga Soriu, Adrian Florea, Ovidiu Pana, Ioan Bratu, Mircea Diudea, Alexandru S. Biris, *in pending ACS Nano*

**Patente:**

1. **Sinteza si caracterizarea acidului aspartic raceemic folosit in scopuri biomedicale si tehnice**, Anamaria Orza, Mitre Viorel, Mitre Ioana-OSIM Pat.No.A/01075
2. **Process for obtaining ultra short functionalized MWCNTs by controlled oxidation**, Matea Cristian Tudor, Bele Constantin, Iancu Cornel, Mocan Lucian, Orza Anamaria-Ioana-OSIM Pat.No.A/ 01134

**2004 – 2008**

- *Universitatea* Babes- Bolyai , Facultatea de Chimie si Inginerie Chimica, **BSc (Chimie) Degree - Result: A**

**Proiectul de cercetare final:**

**Titlul:** Sinteza, functionalizarea and caracterizarea a unor compusi metalici terpiridinici

Analize: H1-RMN, C13-RMN, Spectroscopie de masa

- *Universitatea* Babes- Bolyai, Facultatea de Studii Europene, Managementul Institutiiilor Europene

**2000-2004**

- Liceul Regele Ferdinand, Matematica Informatica, Sighetu-Marmatiei, Maramures